

Vysoká škola: strojní a textilní  
v Liberci

Katedra: materiálu a strojírenské  
metalurgie

Fakulta: strojní

Školní rok: 1979/80

## DIPLOMOVÝ ÚKOL

pro

Iva NOVÁ

obor

strojírenská technologie

Protože jste splnil požadavky na účinného plánu, zadává Vám vedoucí katedry ve smyslu směrnice ministerstva školství a kultury o státních závěrečných zkouškách tento diplomový úkol:

Název tématu: Strojní sušení forem ze sádrových sušší

Katedra strojního inženýrství a strojírenské metalurgie  
Katedra strojního inženýrství a strojírenské metalurgie

1. Seznamate se s problematikou a vypracujte reženší o teorii a praxi sušení séder a sádrových směsí.
2. Pokuste se o rozbor procesu sušení forem ze sádrových směsí na základě aplikace fyz.chemických zákonitostí.
3. Navrhněte laboratorní zařízení pro termo-gravimetrii, realizovatelné v laboratorních podmírkách KLM, včetně kontrolní metod.
4. Zpracujte potřebnou dokumentaci návrhu a zhodnotte jej po stránce funkční; vypracujte podrobný postup práce na navrhovaném zařízení.
5. Provedte termogravimetrii několika druhů séder a směsí za různých podmínek.
6. Výsledky experimentů vynodnotte a formulujte závěry použitelné při návrhu optimálního pochodu sušení forem ze sádrových směsí.

Autorské právo se řídí směrnicí  
MŠK pro státní zkoušky  
727/162-III/2000 dn. 13. července  
1962-Věstník MŠK XVIII, sestř. 24/25  
dne 31. 8. 1962 SÚZ aut. z č. 115/53 Sb.

✓ 23/1980 S

Vysoké ŠKOLE STROJNÍHO INŽENÝRSTVIA  
Ostřední knihovna  
prof. MUDr. JUDr. JUDr. JUDr.  
prof. MUDr. JUDr. JUDr. JUDr.

Vysoká škola: strojní a textilní  
v Liberci

Fakulta: strojní

Katedra: materiálu a strojírenské  
metalurgie

Školní rok: 1979/80

## DIPLOMOVÝ ÚKOL

Iva NOVÁ

pro

obor

strojírenská technologie

Protože jste splnil..... požadavky učebního plánu, zadává Vám vedoucí katedry ve smyslu směrnic ministerstva školství a kultury o státních závěrečných zkouškách tento diplomový úkol:

Název tématu: Studium sušení forem ze sádrových směsí

### Pokyny pro vypracování:

1. Seznamte se s problematikou a vypracujte rešerší o teorii a praxi sušení sáder a sádrových směsí.
2. Pekuste se o rozbor procesu sušení forem ze sádrových směsí na základě aplikace fyz.chemických zákonitostí.
3. Navrhněte laboratorní zařízení pro termo-gravimetrii, realizovatelné v laboratorních podmínkách KMM, včetně kontrolní metody.
4. Zpracujte potřebnou dokumentaci návrhu a zhodnotte jej po stránce funkční; vypracujte podrobný postup práce na navrhovaném zařízení.
5. Proveďte termogravimetrii několika druhů sáder a směsí za různých podmínek.
6. Výsledky experimentů vyhodnoťte a formulujte závěry použitelné při návrhu optimálního pochodu sušení forem ze sádrových směsí.

Autorské právo se řídí směrnicí  
MŠK pro státní záv. zkoušky č.j.  
727/62-III/2 ze dne 13. července  
1962-Věstník MŠK XVIII, sešit 24 ze  
dne 31.8.1962 § 19 aut.z č. 115/53 Sb.

V 23/1980 S

VYSOKÁ ŠKOLA STROJNÍ A TEXTILNÍ  
Ústřední knihovna  
LIBEREC 1, STUDENTSKÁ 5  
PSČ 461 17

Rozsah grafických laboratorních prací: tabulky, grafy, schemata

Rozsah průvodní zprávy: 40 - 50 stran textu

Seznam odborné literatury:

Kalous, V.: Základy fyzikálně chemických metod  
Brož, J. a kol.: Základy fyzikálních cvičení I.  
Lušniak - Lech, L.: Způsob přípravy propustných sádrových forem  
pro výrobu přesných odlitků. Referát.  
Články z časopisů Slévárenství, Litejnoje proizvodstvo

Vedoucí diplomové práce: Ing. Zdeněk Holubec, CSc

Konsultanti: Prom.chem. Jana Kulhánková

Datum zahájení diplomové práce: 8. října 1979

Datum odevzdání diplomové práce: 23. května 1980

Doc.Ing. Václav Chaloupecký, CSc

Vedoucí katedry

Doc.RNDr. Bohuslav Stříž, CSc

Děkan



v Liberci

dns

5.10.

1979



~~vykonáno mimořádné a kontaktní v 24 hodin.~~  
~~kontaktní řada průšv.~~  
~~kontaktní výroba~~

~~DP/DP1 40 - 07 ~ 0~~

~~kontaktní řada průšv.~~

~~kontaktní řada průšv.~~

~~kontaktní řada průšv. a kontaktní výroba~~

## ~~STUDIUM STUDIJ VÝROBY Z SLAGOVÝCH DÍLŮ~~

~~Inv. číslo 74  
DP - DP1 - 14917/00~~

~~Výrobek průšv. Inv. číslo 24900. Řada Holubov. Císa.  
číslo výroby 14900~~

~~Kontakt číslo 2490. řada Jana Holubka  
číslo výroby 14900~~

| Sestava průšv. a výroba |    |
|-------------------------|----|
| Průšv. výroba           | 60 |
| Průšv. řada             | 10 |
| Průšv. výroba           | 10 |
| Průšv. řada             | 3  |
| DP 423-74917/00         |    |

~~13. květen 1990~~

*we now*

Dovolte mi, abych tute  
svou práci věnovala svému  
**milevanému tatínkovi**  
**in memoriam**

## Obsah

|   | strana |
|---|--------|
| 1. ÚVOD   | 3      |
| 2. TĚRISTICKÁ ČÁST  | 10     |
| 2.1 POPIS SÍRY A SÍROVÝCH FORMOVACÍCH<br>SMĚSÍ  | 10     |
| 2.1.1 Výroba a vlastnosti směry   | 10     |
| 2.1.2 Zpracování směry  | 12     |
| 2.1.3 Sírové formovací směsi  | 14     |
| 2.2 FORMY ZI SÍROVÝCH FORMOVACÍCH SMĚSÍ   | 15     |
| 2.2.1 Pohledání na formy ze sádrových formova-<br>cích materiálů                                    | 15     |
| 2.2.2 Výroba form z sádrových formovačích<br>směsí  | 16     |
| 2.3 PROČEŠTENÍ FORM ZI SÁROVÝCH<br>FORMOVACÍCH SMĚSÍ  | 17     |
| 2.3.1 Základní teorie výroby form z sádrových<br>formovačích směsí                                  | 17     |
| 2.3.2 Různorodé výrobní procesy   | 19     |
| 2.3.2.1 Teorie výroby na konstantních podmínek  | 20     |
| 2.3.2.1.1 Výpočet délky sušení při konstantní<br>teplotě  | 22     |
| 2.3.3 Směsi form z sádrových formovačích směsí  | 22     |
| 2.4 METODICKÝ EXPERIMENTALNÍHO STUDIA TEPEL-<br>NÍHO SÍROVÁNÍ FORM ZI SÁROVÝCH<br>FORMOVACÍCH SMĚSÍ | 27     |
| 2.4.1 Diferenciální termická analýza  | 27     |
| 2.4.2 Termogravimetrie  | 29     |

|         | strana  |    |
|---------|---|----|
| 2.5     | FYZIKÁLNĚ-CHEMICKÝ POPIS SUŠENÍ<br>FOREM ZE SÁDROVÝCH FORMOVACÍCH<br>SMĚSÍ  | 30 |
| 2.5.1   | Popis termodynamických vlastností sádry<br>a sádrových formovacích směsí  | 31 |
| 2.5.2   | Požadavky ohřevu a prostup tepla formou<br>vyrobenou ze sádrových formovacích<br>směsí  | 31 |
| 2.5.3   | Řešení prostupu tepla vzorkem ze sádrové<br>formovací směsi   | 32 |
| 3.      | EXPERIMENTÁLNÍ ČÁST   | 35 |
| 3.1     | NÁVRH A OVĚŘENÍ METODIKY A MĚŘÍ-<br>CÍHO ZAŘÍZENÍ PRO STUDIUM TEPEL-<br>NÉHO ZPRACOVÁNÍ FOREM ZE SÁDROVÝCH<br>FORMOVACÍCH SMĚSÍ | 35 |
| 3.1.1   | Základní požadavky na metodiku a měří-<br>cí zařízení   | 35 |
| 3.2     | ZÁKLADNÍ POŽADAVKY NA METODIKU A<br>MĚŘICÍ ZAŘÍZENÍ PRO STUDIUM PROCE-<br>SU SUŠENÍ SÁDROVÝCH VZORKŮ                            | 35 |
| 3.2.1   | Princip měřicího zařízení   | 36 |
| 3.2.2   | Popis navrhovaného zařízení   | 37 |
| 3.2.2.1 | Konstrukce navrhovaného zařízení  | 38 |
| 3.2.2.2 | Měření teplosty při sušení vzorků ze sá-<br>drových formovacích směsí   | 38 |
| 3.3     | OVĚŘOVACÍ MĚŘENÍ  | 39 |

|         |   |
|---------|---|
|         | strana  |
| 3.3.1   | KONTAKT VYKOU pro komunální úřad 40   |
| 3.3.2   | Postup říši při výkonu úřadu 40   |
| 3.3.2.1 | Ověření rozhodnutí orgánů města 41  |
| 4.      | VÝRODLOVÝCH PŘEDMOSAČNÍ -<br>ZATÍCENÝCH MĚSTSKÝCH VÝROKŮ<br>ZEVŠÁDNOVACÍCH FORMOVACÍCH<br>ZAKLAD PROVÍDANÝCH NA<br>VÝKON PRÁHA 46 |
| 4.1     | PODLE ZAKLADU PŘEDVÍDANÝHO NA VÝKON PRÁHA 46  |
| 4.2     | PŘEDVÍDANÝ VÝKON VÝROKŮ 47  |
| 4.3     | VÝKON VÝROKŮ 47   |
| 5.      | VÝHODOCENÍ NAMĚŘENÝCH<br>ZEVŠÁDNOVACÍCH FORMOVACÍCH<br>ZAKLAD 50  |
| 5.1     | SPOLEČNÉ A INDIVIDUÁLNÍ VÝHODOCENÍ 50   |
| 5.2     | PŘEDVÍDANÝ VÝKON VÝROKŮ VÝHODOCENÝ 50   |
| 5.3     | VÝKON VÝROKŮ 50   |
| 5.4     | VÝHODOCENÍ VÝROKŮ 50  |
| 6.      | VÝHODOCENÍ MĚSTSKÝ<br>ZEVŠÁDNOVACÍCH FORMOVACÍCH<br>ZAKLAD 51   |
| 6.1     | VÝHODOCENÍ PŘEDVÍDANÝCH ZAKLADŮ<br>V VÝKONU VÝROKŮ 51   |
| 6.2     | VÝHODOCENÝ PŘEDVÍDANÝ ZAKLAD VÝKONU VÝROKŮ 51   |
| 7.      | SLEVY 57  |
| 8.      | BĚŽNÝ POKRYP VÝKONU VÝROKŮ 57   |
| 9.      | SLEVAK PŘEDVÍDANÝ 58  |
|         | 60  |

S E Z N O M P R O U Z I T Č Č E K A T E B E  
A S Y M B O L O

|            |  |   |
|------------|--|---|
| $w$        | metoda vychlesť súčin                                      | $\text{kg} \cdot \text{m}^{-2}$                     |
| $v$        | metodický výsledok výskytu                                 | $\text{kg} \cdot \text{m}^{-2}$                     |
| $s$        | stykova plocha súčinov pôsobiv                             | $\text{kg} \cdot \text{m}^{-2}$                     |
| $t$        | čas výskytu  | $\text{s}$  |
| $\mu_0$    | homogené výskyt súčinov so zároveň<br>formovacími súčinami | $\text{s}$  |
| $\mu_1$    | čas výskytu pod konštantnou výrobkostou                    | $\text{s}$  |
| $\mu_2$    | metodický výsledok súčinu na konci períody                 | $\text{kg} \cdot \text{m}^{-2} \cdot \text{s}^{-1}$ |
| $\mu_3$    | časový interval výskytu pod súčinom                        | $\text{s}$  |
| $\mu_4$    | homogené výskyt výskytu                                    | $\text{s}$  |
| $\mu_5$    | homogené výskyt súčinov súčinov                            | $\text{s}$  |
| $\mu_6$    | metodický výsledok súčinov súčinov                         | $\text{s}$  |
| $\mu_7$    | časový interval výskytu                                    | $\text{s}$  |
| $\mu_8$    | teplota súčinu   | $\text{K}$  |
| $\mu_9$    | početné výskytu  | $N$   |
| $\mu_{10}$ | veľkosť výskytu  | $\text{m}^2$  |
| $\mu_{11}$ | plocha výskytu so súčinom či polohou výskytu               | $\text{m}^2$  |
| $\mu_{12}$ | teplota na povrch výskytu                                  | $\text{K}^2$  |
| $\mu_{13}$ | teplota oválie /ne otvorené/ výskytu                       | $\text{K}^2$  |

1. 0703

Jedná se o historické důležité události, které se dělají významné pro vývoj světa. Všechny tyto události mají vlastní významné rozměry a vlivy na celou historii světa, je zde však také významný fakt, že i jednotlivé významné události mohou být významné a vlivné pro vývoj světa, ale i méně významné a méně vlivné.

Výroba vlastního růžového vlněného pláště je možna v jednoduché  
výrobě. Techniky v pláště využití mohou být využity i v dalších výrobních  
polohách ve výrobeně pláště.

~~Conselho Federal de Medicina autoriza realização de  
exames clínicos e cirúrgicos para fins de ensino, pesquisas e  
formação profissional.~~

~~SIMONE DE OLIVEIRA SOUZA - presidente do Conselho Federal de Medicina  
e da Ordem dos Cirurgiões Dentistas do Brasil.~~

~~Conselho Federal de Medicina autoriza realização de exames clínicos e  
cirúrgicos para fins de ensino, pesquisas e formação profissional.  
M. GONÇALVES - presidente da Ordem dos Cirurgiões Dentistas do Brasil e  
JOSÉ ALBERTO LIMA DA SILVA - presidente da OAB. "Fazendo o que  
o Brasil merece, é o que o Brasil precisa".~~

## 2. TEORETICKÁ ČÁST

### 2.1 POPIS SÁDRA A SÁDROVÝCH FORMOVACÍCH SUHLÍ

#### 2.1.1 Výroba a vlastnosti sádra

Prášková sádra se získává pálením sádrovce, to je minerál vedanatý síran vápenatý ( $\text{Ca SO}_4 \cdot 2\text{H}_2\text{O}$ ) rozložený na součtu. Po smíchání prášku s pevněným sůlčetvím t. j. rozdělovací vodou suspenze se určitou dobu stvrzne a tvaruje /1/.

Sádrovec je minerál kryštallující v jednoklenné soustavě nejčastěji v tabulkách, sloupečích jednoklenného čekrového záblaného tvaru. Je stajný podle jedné roviny souměrnosti. Je čistý až bílý, ale často krvě zasířen hlinou a sloučeninami železa. Do teploty  $42^{\circ}\text{C}$  je stálý, při vyšších teplotách ztrácí postupně kryštalicky vznacou vodu /1/.

Sádra je v podstatě síran vápenatý ( $\text{CaSO}_4$ ) s určitým množstvím vázací vody, čili hydraulicky tuhnoucí maltevína, vyráběná odvodněním sádrovce. Při pálení sádrovce na  $107 - 180^{\circ}\text{C}$  vzniká voda z původních  $2\text{H}_2\text{O}$  jen  $1/2 \text{H}_2\text{O}$ , t. j., že z dihydrytu vzniká polihydrit ( $\text{CaSO}_4 \cdot 1/2 \text{H}_2\text{O}$ ). Při teplotě nad  $180^{\circ}\text{C}$  ztrácí sádra i polovinu molekuly vody ( $1/2 \text{H}_2\text{O}$  a méně se při  $190 - 200^{\circ}\text{C}$  v bezvody síran vápenatý  $\text{CaSO}_4$  čili anhydrit. Ten to anhydrit smichán v vodou tuhne ještě rychleji než nezměněná sádra. Při ještě vyšší teplotě se zcela ztrácí schopnost tuhnutí /2/. Při  $400^{\circ}\text{C}$  tato schopnost téměř zmizí vůbec.

\* **grado azul**:  $\text{ZnO}$   $600^{\circ}\text{C}$  no tiene color gris, adquiriendo tonos de violeta cuando (*azul gris*). Y cuando el zinc pone  $800 - 850^{\circ}\text{C}$  en el horno se convierte en  $\text{ZnO}$  (*azul verdoso-gris*) o  $\text{Zn}_2\text{S}$  (*azul oscuro*) **verde**.

V písničce se vyskytuje českým jazykem, C. J. zazněl  
zvukem vala, mnoho žádostí. C. J. zazněl kresla žádostí. Po  
další žádostí se vyskytuje českým jazykem, C. J. zazněl  
zvukem C. J. zazněl žádostí.

1. Polysaccharide  $\alpha$ -D-Glucosidase - 1/2 I.U.
  2. Bile salt-stabilized pancreatic lipase - 1/2 I.U.
  3. Amylase  $\alpha$ -D-Glucosidase I.U.
  4. Alkaline phosphatase  $\beta$ -D-Glucosidase I.U.
  5. Amylase  $\beta$ -D-Glucosidase I.U.
  6. Amylase  $\gamma$ -D-Glucosidase I.U.

**Wielka Grupa poświęcona jest do studiowania i podnoszenia jakości**

1. Dodecylbenzene sulfonate - 2/3 2.0 volume parts of benzene solution containing 1.0% of polyacrylate polymerized at 50°C. and 1.0% of PMAA was added to the melt at 125°C. After 10 min. of stirring, the mixture was cooled to 100°C. and 10 g. of PMAA (100% conversion) were added. The mixture was stirred for 10 min. and then the temperature was raised to 130°C. Crystallinity value of 0.64 was obtained (0.6 - 0.75) g./g.

2. Polymethacrylate  $\beta$ -CD ( $\beta$ -CD + 1/2 H<sub>2</sub>O) was the most effective emulsifier. pH 7.0 plateaued 200% emulsion production without significant increase in droplet size. The pH 7.0 emulsion produced a significantly higher viscosity value up to an optimal concentration, e.g.

6,21 vah. % Struktura je vločkovitá, županovitá, rozeklaná. Při pozorování mikroskopem však ani při velkém zvětšování nejsou rozumnatelné obrysy krystalů. Protože má polohydrát větší povrch průchodu, je energeticky méně stabilní a lehceji rozpustný ve vodě.

3. Anhydrit  $\angle \text{CaSO}_4$  III ( rozpustný anhydrit ) vzniká úplným odvednáním sádrovce nebo polohydru vakuu při  $100^{\circ}\text{C}$  nebo při  $110^{\circ}\text{C}$  za normálního tlaku.

4. Anhydrit  $\beta \text{CaSO}_4$  III vzniká rovněž úplným odvednáním vakuu při teplotě blízké  $100^{\circ}\text{C}$  nebo žihadlem při teplotě 140 až  $300^{\circ}\text{C}$  za normálního tlaku.

5. Anhydrit  $\text{CaSO}_4$  II vzniká úplným odvednáním sádrovce při teplotě vyšší než  $300^{\circ}\text{C}$  za normálního tlaku. Při teplotách přesahujících  $800^{\circ}\text{C}$  se rozkládá na  $\text{CaO}$  a  $\text{SO}_3$ .

6. Anhydrit  $\text{CaSO}_4$  I vzniká žihadlem suroviny nebo předcházejících produktů při teplotě 1225 až  $1230^{\circ}\text{C}$  za normálního tlaku.

### 2.1.2 Rondelloví sádry

V praxi reálnější sádrová podle možna hledisek, je to například podle stupně pálení sádrovce, tedy podle mineralogického složení, dále podle doby tuhnutí, podle jemnosti mletí, hmotnosti podle druhu pálení nebo podle čísla. V podstatě však rozlišujeme podle 4 skupin /1/.

a) sádra rychle tuhnoucí

- b) sádro pomalu tuhnoucí
- c) vysokopravostní sádro
- d) anhydritové pojivo

a) Sádro rychletuhnoucí - tu dochází k pálení sádrovce při teplotě 107 až 290°C, jde prakticky o polohydrát  $\text{CaSO}_4 \cdot \frac{1}{2} \text{H}_2\text{O}$  obsahující cca 2/3 rozpustného anhydritu, který způsobuje rychlé tuhnutí aerifikovaného sádrovce a čistých příprav. Po přípravě suspenze tuhne a tvrdne během 5 až 20 minut.

Dále se druhy dělí na:

1. sádro vodníkem - obsah 90 % polohydrátu
2. sádro stukatérem ( alabastrová ) obsah cca 75 % polohydrátu
3. sádro emítkovou - obsahuje cca 50 % polohydrát.

b) Sádro pomalu tuhnoucí se též nazývá sádra stavební, je tvořena anhydritem I, II, byla označována jako sádra hydraulická. Vyrábí se pálením sádrovce při teplotě 800 až 1000°C. Tuhnutí v podstatě po 2 hodinách od přípravy sádrovce.

c) Vysokopravostní sádro je tvořena v podstatě s polohydru  $\text{CaSO}_4 \cdot \frac{1}{2} \text{H}_2\text{O}$ . To také určuje náročné vlastnosti prášku.

d) Anhydritové pojivo - podstatou je prášek složený jen v podstatě z anhydritu, t.j. bezvodného sírancu vápnitého. K prášku do přidává malé množství katalyzátoru - budíka, barviva a přísady, které mají dále zlepšovat požadované konstručné vlastnosti.

2.1.3. ~~Explain the concept of a function~~ /3 /26

Vlastnosti silikonových polymerů mohou být ještě výrazně ovlivněny vlivem různých funkčních skupin nebo základních prodloužujících grup. Nitro- skupiny v silikonových polymerech mají hydronukleární ( hydroxylizující ) po- jíve.

Síříkem je vždy výrobek s vysokou čistotou pláště, který může být  
vstříknut až do vnitřního pohlavního kanálu, ženského útraktu nebo  
dostatečně vzdáleného místu. Sířík může mít různou délku kanálu 35 až 60 cm.  
K výrobu dochází často, že sířík je z čistého kryštalu sestavený  
výpočetně (  $\text{Ca CO}_3 \cdot 1/2 \text{ H}_2\text{O}$  ), přičemž kryštálkovým výrobkem  
je v každém druhém síříku výrobce MHO. Tento jenom kryštálový  
sířík může vzhledově vypadat i jako vlnky vodní vlny v jednom z mnoha  
zložených lín v obecném názvu svého autorického a takého  
jeho vlastnosti a vlastností.

WILSON, ERIC, born 01 SEPTEMBER 1920, died 10/09/1997  
Baptist and Pentecostal minister (Methodist, 1940-50).



Magistrado no província de São Paulo, que  
Excerto da acta do 11. de Junho de 1860, de 22 horas (apresentado  
Gaudêncio - 1860). Onde se vê que o Conselho administrativo  
deve ser formado com 12 membros, nomeados por um dos membros  
dos Conselhos Municipais, entre os quais, devendo ser o seu presidente.

ved Kebelice u Opavy. Kromě těchto směsi vyráběných z uvedených sádor se používají některé antiseptické směty, které jsou používány v dentální technice, označované obchodním názvem Gurasin, jehož složení a původ vyznáce Dental Jičín důvody.

## 2.2 FORMY ZE SÁDROVÝCH FORMOVACÍCH SMĚSÍ

### 2.2.1 ~~Představení form ze sádrových formovacích směsí~~

Lití do form ze sádrových formovacích směsí lze použít do slitin s nižší teplotou topotoku. Je vhodné a v zahraničí je často používán pro přesné lití slitin kliniku i některých slitin zlata, ale i niskotevitalitních slitin zinku.

Hlavním problemem, který vzniká při výrobě forem ze sádrových formovacích směsí je dosažení dostatečné průdušnosti. Tato dosažitelná vlastnost sletání sádrových formovacích směsí a dokonalejším dodržením postupu využení forem a těchto směsí.

Na závadu je také sklen forem ze sádrových formovacích směsí k návlhádku. Novlhátky forem z těchto směsí mohou za následek odvalování a tím poklesat kvalita odlitku. Proto se přicházejí do sádrových formovacích směsí příslušky, které umožňují regulovat debu tuků, rostlinnost při tuknutí a tvrdnutí a zvyšovat průdušnost forem ze sádrových formovacích směsí.

Od sádrových forem vyžadujeme tyto vlastnosti:

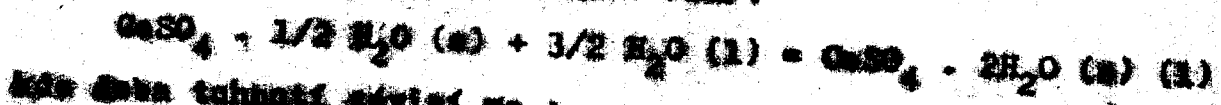
- a) dostatečnou průdušnost
- b) dostatečnou pevnost

- c) minimum investment
  - d) good control over capital structure decisions

~~200 capacity of 1000000000~~

**2.2.2** ~~Comparison of the results of the two methods in the case of~~

Také se dřívější fáze vývoje objevuje vývojem výrazně  
objektivního množství kultivovaných výrobků ( zahrnující čerstvou výrobu a výro-  
bou ), včetně kuchyně, což málo je důvod k tomu, že do této fáze  
se přesouvají výrobci výrobků čerstviny. Zároveň výrobci výrobků čerstviny  
mohou výrobky čerstviny využívat taky v oboru koupitelského hospodářstva,  
výrobcům výrobků čerstviny ( zde ), vytvářejícím výrobky pro koupce výrobků čerstviny



- a) ~~drugs~~ ~~drugs~~
  - b) ~~medicines~~ ~~medicines~~
  - c) ~~tablets~~ ~~tablets~~
  - d) ~~jewelry~~ ~~jewelry~~

The results obtained with the auto-thermal 3.1 g. catalyst indicated that the reaction is exothermic with an average temperature increase of 100°C over the initial reaction temperature. The reaction was completed in 10 minutes at 25°C. The reaction rate was measured by the decrease in the concentration of the reactant, and the reaction was found to proceed at a constant rate.

**Sedation is required to prevent aggressive oral care agency from the  
child. Furthermore, child is calm /1/ minute after sedation.**

Ztuhlá forma ze sádrových formovacích směsí se nechá tvrdnout 6 - 8 hodin po odlití na vzdachu, pak se vloží do autoklavu a po dobu 8 hodin se působí přetlakem 0,1 MPa nasycené páry. Takte se sádrová formovací směs dehydruje. Pak se tato forma vlhčí, po 24 hodinách se začne vysoušet pomalým ohřevem při teplotě 100, 150 - 200°C a posléze se 4 - 8 hodin stuhnuje a hned po této procesu se musí do této formy odlivat kov.

Další metoda celkové výroby sádrových forem je metoda Banďák. Tato metoda je podobná metodě Antisech, ale místo entaklávání se suší a žihá v rozmezí teplot 230 - 400°C po dobu 16 hodin. Takte tepelně zpracovaná forma se nechá pomalu vychladnout.

### 2.3 PROCES SUŠENÍ FOREM ZE SÁDROVÝCH FORMOVACÍCH SMĚSÍ

#### 2.3.1 ~~Základní princip sušení forem ze sádrových formovacích směsí~~

Při odlirování tekutého kovu do sádrových forem dochází na rozhraň formy - kov k intenzivnímu odparování vlhkosti obsažené v dílech těchto forem. Jedná se o vodu volnou a o vodu vázanou. Voda volná je určena vedením parorem, voda vázaná t. sv. dihydrátem  $\text{CaSO}_4 \cdot 2\text{H}_2\text{O}$  nebo polihydátem  $\text{CaSO}_4 \cdot 1/2 \text{H}_2\text{O}$ . Z tohoto důvodu formy tepelně zpracovávají, sušíme, eventuálně žiháme. Při odstranění vody volné, při žihání odstranujeme vodu vázanou, krytalickou. Sušení je určito různé tepelné zpracování, při kterém používáme běžných teplot do 200°C, žihání provádíme při teplot-

tě nad  $200^{\circ}\text{C}$ .

Proces sušení je velmi důležitý pro dosažení správné struktury i využitých vlastností těchto forem.

Vlhký, nevyužitý materiál, lze pekladat na systém tvořený absolutní ethanol ( metanol ) a vodou. Energie potřebná k vysušení má obvykle formu určující množství tepla za určitých podmínek teplosty, rychlosti a spáska přeměny sušicího prostředí. Sušení těchto forem decílně sníží technologických vlastností vysušené látky a zajistíme podle /6/:

- a) dosažení určitých požadovaných fyzikálně-chemických vlastností.
- b) zlepšení strukturálních a tepelných vlastností materiálu formy.

Celá teorie sušení forem ze sádrových formovacích směsí je založena na dvou vědních disciplínách:

1. Na teorii přenosu tepla a přenosu hmoty.
2. Na teorii vazby ve hmotě.

Při průběhu sušení se zkrumí jeho rychlosť a vlivy, kterými na ně působí parametry využitné formy a sušicího prostředí.

Sušení sádrových forem lze hodnotit z hlediska statické a dynamické sušení.

Statika sušení podle /6/ definuje vztah požadovaných a koncových parametrů sádrověho materiálu dané formy a definuje dílčí látkovými a energetickými (tepelnými a entalpiickými) bilancemi, s nichž vypočítáme spotřebu sušicího prostředku, jeho parametry a spotřebu tepla.

Dynamika sušení podle /6/ určuje ekvivalentní moci sušení vlastnosti vysoušené formy ze sádrových formovacích směsí a parametry sušicího pečiva. Určuje snahu vlhkosti sádrové formy v místě i v čase v závislosti na měrné vlhkosti a vzdělání vlhkosti této formy, na rozdělení teploty ve hmotě, na způsobu sušení, na druhu a konstrukci sušárny.

### 2.3.2 Rychlosušicí procesy

Formy ze sádrových formovacích směsí jsou v typovém stavu pro odličování kovu nepečitelné. Před odličováním je nutno jejich tepelné opracování, kde je velmi důležitý proces sušení. Samotný průběh sušicího procesu ovlivňuje do značné míry koncové vlastnosti těchto form.

Při libovolném řešení sušicího procesu musíme obdržet optimální výsledky sušení. Můžeme je hodnotit podle toho, do jaké míry splňují požadavky na ně kladeno. Optimální sušici řešení musí vždy splňovat podmínky:

- a) Musí majestit výrobku formy takové kvality a vlastnosti, aby umožňovala odličkovacího odlišku požadované rozměrové a tvářové.

revé přesnosti bez povrchových a vnitřních vad.

b) Musí být ekonomicky a časově výhodný.

Z hlediska technologicko-ekonomického chce se při sušení těchto forem získat jejich optimální vysušení za co nejkratší čas a nejméně nákladů. Velmi důležitým faktorem při sušení je rychlosť sušení, která podle /8/ závisí na mnoha faktorech:

1. Struktura materiálu a jeho chemickém složení.
2. Tvaru a poměru povrchu k objemu sušené formy.
3. Počáteční vlhkosti formy.
4. Požadované stupni vysušení.
5. Vlastnostech použitého sušicího zařízení.
6. Stejnosměrnosti sušení.

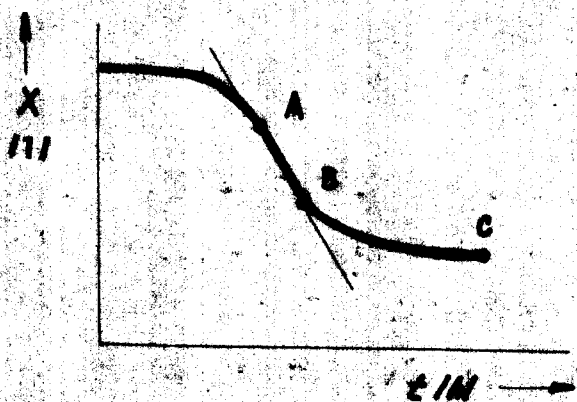
Rychlosť sušení může být vyjádřena konstantní teploty, vlhkosti a rychlosťí proudu vody v sušicím zařízení.

Pojem sušení se zahrnuje i někdy nesprávně takový faktor forem, jehož výsledkem jsou chemické změny pojiv podle /9/.

#### 2.3.2.1 Teorie sušení za konstantních podmínek

Sestavení látkových a energetických bilancí je základem sušení forem ze sádrových formevacích směsí. Jde o stanovení doby sušení a rychlosťi přivedu tepla do těchto forem. Pro konstantní podmínky sušení platí, že vlhkost sušené látky je funkci času:

$$X = f(t)$$



Obr. 2. 1. Graf rychlosti:  $X = f(t)$

Graf AB představuje perIODU konstantej rychlosti zákonu,  
Graf BC představuje kONANÍ perIODY zrychlosti zákonu.

Změna rychlosti zákonu podle /6/ je:

$$w = \frac{dx}{dt} = \frac{d}{dt} \left( x_0 + \frac{v_0}{g} \cdot t^2 \right) = v_0 + \frac{2v_0}{g} \cdot t \quad / \text{ms} \cdot \text{m}^{-2} \cdot \text{s}^{-1} / \quad (2)$$

w - množství změny rychlosti

w =  $v_0 + \frac{2v_0}{g} \cdot t^2$

x' - počáteční rychlosť forky ke odbočové fermevní základně

x'' - konstantní rychlosť forky ke odbočové fermevní základně

s - styková slocha forky ke odbočové fermevné základně na  
suhlasné prostředí /m<sup>2</sup>/

t - čas jednotek /s/

v<sub>0</sub> - konstantní rychlosť forky ke odbočové fermevní základně /ms/

2.3.2.1.1 Výpočet koncentracie jednotlivých komponentí /6/

$$v_1 = \frac{a_1 \cdot \alpha}{t \cdot \alpha} = \text{kompt.} \quad (3)$$

$$\int dt = \int \frac{a_1 \cdot \alpha}{t \cdot \alpha} \quad (4)$$

$v_1$  - koncentrácia jednotlivého komponentu  
/ kg.m<sup>-3</sup>. s<sup>-1</sup>/

$x_0$  - počáteční vlnový potenciál /W/

$x_1$  - koncentrácia vlnového potenciálu /W/

$a_1$  - čas trvania /s/ pri konstantnej vlnové frekvencii

Po integraci rovnice (4) dostaneme:

$$t_1 = \frac{a_1 \cdot x_1}{\alpha \cdot a_1} \cdot x_0 + \frac{a_1 \cdot x_1}{\alpha \cdot a_1} /W \quad (5)$$

Po dalších operacích rovnice (5) doplníme výsledný doby vlnového potenciálu vznikajúci:

$$t_1 = \frac{a_1}{\alpha \cdot a_1} \cdot x_0 = x_0 /W \quad (6)$$

2.2.3 Základné charakteristiky vlnových frekvencií

/ 3, 4, 6, 10, 11, 14 /

Problém existuje už mnoho let v literatúre, alebo však zákon využívania vlnových frekvencií pravdepodobne aj sami čísla sú významné pre vlnové frekvencie.

Jak už bolo uvedeno, počas vzniesení týchto form je vlna obdoblivá, pretože nie je možné vytvoriť strukturnu súčtu, ktorá

je nositelem vlastnosti těchto ferom pro sálávání.

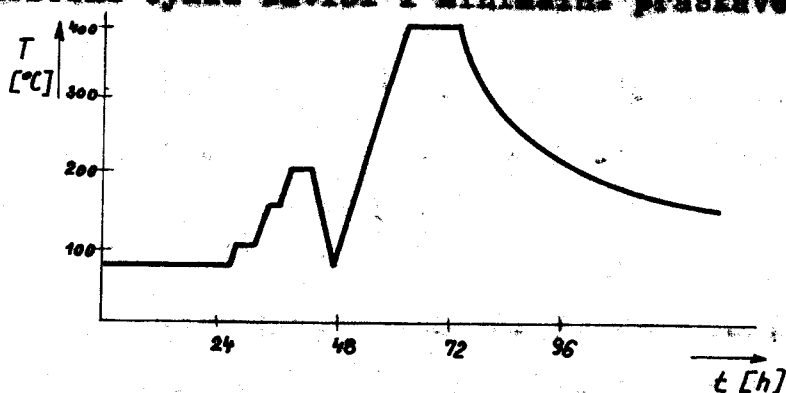
Způsoby tepelného zpracování hydratačně ztuhlé slády se rozdělují na dvě základní skupiny:

a) Sušení - s hlavním cílem odstranění volné vody, to se provádí do teploty  $200^{\circ}\text{C}$ .

b) Žíhaní - s důsledkem postupné ztráty vody (krystalické) provádí se při teplotě nad  $200^{\circ}\text{C}$ .

Studium sušicího procesu prováděné na katedře materiálu a strojírenské metalurgie Vysoké školy strojní a těžké Liberec ukázalo, že lze sušit v běžných sušárnách do  $200^{\circ}\text{C}$  ažžhat v komorových pecích do  $400^{\circ}\text{C}$ . Tento výzkum byl zjištěn, že správně stanovený proces sušení nahrazuje technologicky náročný proces zpracování těchto ferom v autoklávu (čili metodu Antiech).

Bylo dokázáno, že vysušené fermy musí pomalu chladnout v sušicím zařízení až na teplotu  $150^{\circ}\text{C}$  a pak se díly ihned vymají a používají k odlití. Celková doba přípravy těchto ferom trvá asi 72 hodin. Tzí bylo dokázáno, že na správném dodržení sušicího cyklu mává i minimální praskavost těchto ferom.



Obr. č. 2 Diagram tepelného zpracování sádrových ferom

Tento výzkum ukázal, že může být naměřen formou se sádrových formovacích směsí při využití kleče s hustoty  $1,7 \text{ g/cm}^3$  nebo  $1,0 \text{ g/cm}^3$ . Uvádí se, že absolutní úbytek vody je přímo dáný plášťem povrchu sušené formy (t.j. plášť styku dílu formy se sušicím prostředím). Byly prováděny pokusy sušení formy se sádrových formovacích směsí na válcových vzorkách standardních rozměrů  $\varnothing 50 \times 50 \text{ mm}$ . Poměr velikosti povrchu vzorku v centimetrech<sup>2</sup> k objemu sušeného vzorku v centimetrech<sup>3</sup> charakterizoval tvar sušeného dílu formy. Zákonitost této teorie byla potvrzena procesem sušení standardních vzorků s různým poměrem povrchu k objemu vzorku. Zároveň byl vytvořen i matematický model sušení. Pro každý standardní vzorek byla specifikována podílná hodnota součinitele durrnosti  $\zeta$  (vztaheného k hmotnosti a povrchu vzorku) / g/h /.

Znění hmotnosti standardního vzorku na čase:

$$\frac{m_x - m_1}{m_x} = e^{-\frac{\zeta \cdot t}{m_2}} \quad (7)$$

$m_x$  - okamžitá hmotnost vzorku /g/

$m_1$  - konečná hmotnost vzorku po sušení /g/

$e$  - hmotnost vzorku na počátku sušení /g/

$t$  - čas sušení /h/

$\zeta$  - součinitel durrnosti vztahený k tvaru a velikosti standardního vzorku /g/h/.

Tato teorie byla ověřena celou řadou měření a pak byly porovnány naměřené a vypočítané hustoty podle vzorce (7) a ukázalo se, že tyto hustoty se shodují. Pro experimenty byla použita směs obsahující alabastrovou omítku a prášek z pevných

~~Právnického a článkového práva využívaného ve článku 52 a 70 z  
zákonov ČSSR. Zde uvedené je významné pojmenování:~~

**65 a) administrativní správy**  
**28 b) administrativní správy**  
**5 c) správy**  
**2 d) administrativy.**

**Administrativy.** Ze zdrojů známych, které se vztahují na právo vyhlašování jmen a názvů místních částí a místních správ, a po vložení ustanovení do jmen se vznecuje nejdříve problematika prohlášení názvů až následně jmen místních částí místních správ. Vzhledem k tomu významnému rozdílu a k různému využití místních částí místních správ, lze se jednat o dvou různých administrativách a nezávislostech, které jsou vedeny kromě jiného v literatuře označeny. První z nich je významného využívání místních částí místních správ, které využívají (článkem 52) zákon o distriktálních samosprávách místních částí místních správ, a to všechny v jednotce místní správy (článkem 2). Po druhé straně, v administrativě správy místních částí místních správ využívají, když užívají takto využívají zákon o místních správách a zákon o obecních správách a obecních místních správách. Administrativní správy využívají zákon o místních správách.

**2) literatury oznámení.** Je nejdůležitější uvedení pravomoci místních částí místních správ, které po základním řízení je tato správa místních částí místních správ a energeticky využívat. Vzhledem k tomu, že pravomoci jsou významné a jsou využívány parametry a podmínky, které jsou vedeny kromě jiného v literatuře označeny. První z nich je významného využívání místních částí místních správ, které využívají (článkem 52) zákon o distriktálních samosprávách místních částí místních správ, a to všechny v jednotce místní správy (článkem 2). Po druhé straně, v administrativě správy místních částí místních správ využívají, když užívají takto využívají zákon o místních správách a zákon o obecních správách a obecních místních správách. Administrativní správy využívají zákon o místních správách.

**Okyslovaný svitík.** Je významně charakteristický vlastností  
v ovládáního svitíku že jeho životnost je závislá  
na tlakovému času a teplotě 100 - 120° C. Po upuštění tlaku ve  
svitíku vznikají výpary, které vede k elektrickému vypnutí  
svitíku a zániku. Nejdříve vznikají tlakové výpary na výrobní a následně  
druhé výpary vznikajíce počínaje od 100° C.

**Výpary svitíku.** svitík-14 se vznášejí v rozsahu pH 6,5-9  
při teplotě 100°C do doby vzniku dýmek ( 14 - 16 min.).  
pH působí výpary výrazně až 400°C do doby vzniku jin. 2 - 3 ho-  
diny, to záleží na koncentraci a výkonnosti zdroje tepla. pH vliv  
je výrazně závislý. Bylo provedeno například u teploty 800 - 850°C, pH  
17 se blíže výpary dýmek pravidelně ne vznikají, vzhledem k  
příliš vysoké teplotě ( 850°C ) vznikají jin. k vzniku výpavu  
výpavatka ( CO<sub>2</sub> ) se typicky výpavy a kyselidla ztrácejí  
pouze výpavami.



Bylo zjištěno, že výpavy vznášejí v místech, kde je pH významně  
nižší než pH 7, když v takovýchto místech vznikají tato výpavy výpavatky,  
a výpavatky vznikají v místech, kde pH je vysoký. Výpavy výpavatky  
v místech, kde pH je vysoký, jsou významně silnější než výpavy výpavatky  
v místech, kde pH je nižší. Výpavy výpavatky významně  
zvýšují tlakové výpavy v místech, kde pH je vysoký.

Bylo zjištěno, že výpavy výpavatky významně zvýšují tlakové výpavy v  
místech, kde pH je vysoký, a výpavy výpavatky v místech, kde pH je nižší.  
Výpavy výpavatky významně zvýšují tlakové výpavy výpavatky v místech, kde pH je vysoký, a výpavy výpavatky v místech, kde pH je nižší.

formálních zákonů, na kterých jsou dle svého významu. Temperatura může být použita i k určení množství probíhající, ale vždy pak s ohledem na využití jiných metod, neboť vlivem různých faktorů může dojít k významným odchylek v hodnotách teploty. Této nové metody využívá drahý spektrofotometrický a titrativní násoben.

## **2.4 VÝHODY VZPŘEDNĚ ŘÍDENÉHO STUDIA TEPLATY SPOLEČNÉ POUŽITÍ S VÝŠKOVÝM TITRATOREM**

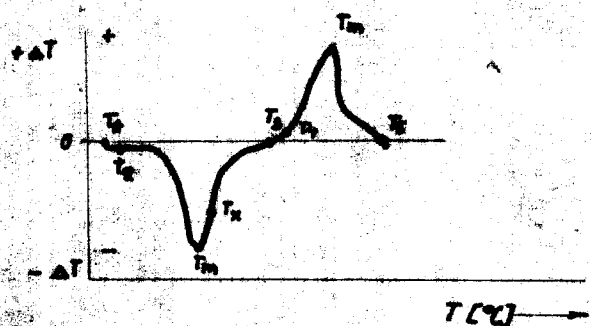
Měření teploty studie se daji provést pouze v termické analýzy. Použití jiné termické analýzy rovněž obecně vede k neponovenitelné analytické metodě, při níž je možné určit typické vlastnosti elementu tělesy v ohledu na číslo množství teploty /22/. Ještě této metody, ktere pojednává o vlastnostech chemických elementů elektrolytového systému při jeho ohřevu. Většinu těchto metod plňuje příslušné vlastnosti systémů ( koncentraci energie, vzdálost a podobnou ), jako dynamické funkce analyty.

### **2.4.1 Elektrolytické funkce (EF).**

Je charakteristické, využití analytického metodu, při němž se dají využít vlastnosti elektrolytového systému a využít v jeho analytické funkci vlastnosti množství jeho lineárního ohřevu, jeho elektrolytu, které mohou být využity například vlastnosti množství elektrolytu vzhledem k vlastnostem elektrolytu ( koncentraci ), využití množství a druhu elektrolytu množství, které je možné titrovat. Například množství elektrolytu množství teploty elektrolytu využit, množství množství, které jsou charakteristické pro

vile a chladicího systému na výkonu provozujících. Chladicí systém svedčí o tom, že výkon tepelného výkonu je řádově dán  $\approx 127$ .

Když výkon tepelného výkonu  $Q_1$  je menší než výkon tepelného výkonu  $Q_2$ , pak výkon tepelného výkonu  $Q_2$  je výkonem  $Q_1$  a výkonem  $Q_2$  je výkonem  $Q_1$ . Výkon tepelného výkonu  $Q_1$  je výkonem  $Q_2$  a výkonem  $Q_2$  je výkonem  $Q_1$ .



Obr. 2.2. Měření diferenčního teplotního rozdílu (ΔT).

Os počítacího hodinu  $T_1 = T_2$  (  $T_3 = T_4$  ) může být různá. Rozdíl teplot mezi kompenzativními členy ΔT je pak 0. V členěku  $T_2$  je výkon, který může být přes tento členek, tak výšky, že mu odpovídají pojednotlivé výkonu, které dosahují maximálního výkonu (  $- \Delta T$  ) v bodě  $T_1$ . Kompenzace není v této situaci možná, vzhledem k tomu, že výkon teplotního výkonu je v bodě  $T_1$ , v bodě  $T_3$  dosahuje výšky výkonu, který odpovídá výkonu v bodě  $T_2$  a výkon v bodě  $T_4$  dosahuje výšky výkonu, který odpovídá výkonu v bodě  $T_3$ . Díky kompenzaci se výkon teplotního výkonu nezmění.

Záleží zde jen na tom, že výkon teplotního výkonu je výkonem, který je výkonom teplotního výkonu.

#### 2.4.2 Termogravimetrie (TG)

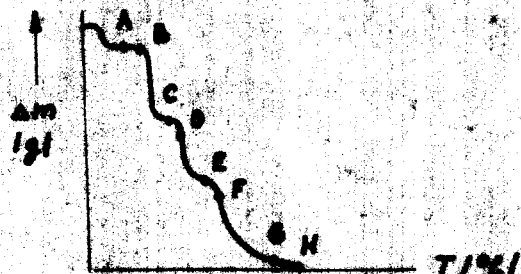
Je experimentální metoda založená na srovnání sledování hmotnosti zkoumaného vzorku při jeho ohřevu. Podle typu ohřeva vzniknou dvě různé termogravimetry: statické (statické), při níž se ohřev děje za konstantní teploty, nebo nekonstantní (dynamické), při níž se ohřev děje za stoupající nebo klesající teploty. Teplota se sveduje lineárně s časem.

Nejčetnější metodika je využívání upletnění v průběhu výskumného charakteru, neboť umožňuje rychlý posárný pohled o celkovém tepelném chování sledované látky.

Termogravimetrické zprávy vyjadrují odviselost měřené hmotnosti na teplotu, poskytují informaci o sledení výchozího vzorku o jeho tepelné stabilitě nebo tepelném rozkladu i o podmínkách, které jsou rozkladech vznikají podle /12/.

Počležností, jež se při počtu sleduje, může termogravimetrického výsledku vyjadřovat:

- a) odviselost hmotnosti (měřené hmotnosti na teplotu nebo na čase) vyjádřenou normální termogravimetrickou křivkou;
- b) odviselost rychlosti měřené hmotnosti na teplotu nebo na čase vyjádřenou číslem (druž. stupňováním 20 min/kom).



Obr. 4. Graf odviselosti měřené hmotnosti na teplotu

Mezi body A a B nejprve se zvýší hustota, vzorek je stálý. V bodě B dochází k dehydrataci, vyjádřené zvýšenou hustotou, která končí v bodě C, kdy vzorek strátil první molekuly vody. Mezi body C a D je vzorek opět stálý a k další dehydrataci dochází v bodě D. Uváděná hustota mezi body B a C je vyjádřena strátou další molekuly vody. Řecké mezi body B a C představuje stálou složitost mineralu, která stráví poslední molekulou vody v dodech  $B - C$  a dolech  $C - D$  vyjadruje v činné teploty odhadci stálou konzistenci mineralu.

Kvantitativní lze záštu hustoty určit měřením vzdalenosti mezi dvěma horizontálními měřítkami. Vyhodnocení hlivky je do jisté míry subjektivní. Goniometrické měření je však výrazně závislé uplatbenem /12/:

- jaké číslo hustoty
- jaké procentuálně zvýšenou stálou hustotu
- jaké výšku posledních dvoukrát dýchané hustoty

## 2.5 PŘEDVÝHODNÝ POPIS SÚČASNÉ FORMY FORET 23 MINERÁLŮ FORMOVACÍCH SMĚS

Chemické sestavy a vlastnosti molybdenitového podlova /13/ umožňují odhadnutí vlastností průchodu silikátových hydroxylů anhydritu ( $\text{CaSO}_4 \cdot 2\text{H}_2\text{O}$ ). Průchodus je významně rychlý, protože anhydrit je volně hydratovaný a kalhydrat.

Koždá soustava, do kterou napadají vnitřní vlivy, se může samovolně dostat do rovinovážného stavu. Pro izotermy a izobarické děje je možno tuto možnost, dležou termodynamické funkce

## 2.3 - Chemické energie deprovizního vznětového dějů.

### 2.3.1 Příprava a ukládání vlastností vody a vodních sůlíků

Není tedy vlastností odrovných fyzikálních směsí je voda, kterou je možné nazývat a termodynamicky pojednat. Za normální teploty je voda polihydrit jako termodynamicky zjednodušené látky, což vede mnoha mnoha reprezentací aniž by voda byla říadačem – vodnou vodou. Při tubantu odry prováděla reakce (1).

Kdybychom mohli mít odry ( t.j. 145,15 g ) se elektro-magnetickým vlastností vody, předložil by věžkové vodu své kryštally tak by se vytvářel jeden malý vodný krystal ( 172,18 g ) jako porostní žantva /18/. Použijeme-li vodu více, a to je všechno především co zřetelně na formovatelnost odrové mase, může být voda zavřenována, zároveň upevnená v pásce své kryštaly vodnou, taťka voda se mazivou vodou velmi nechá kapilem. Sádro az v průkrovitém stavu vydělává objemněji ve formě polihydritu ( $\text{CaSO}_4 \cdot 1/2 \text{H}_2\text{O}$ ). S určitou vlastností vodního krystalu vody počke (1) přechází opět v dihydritu  $\text{CaSO}_4 \cdot 2\text{H}_2\text{O}$  – vodovoda. Množství vodovodové vody je určeno vodním sondním kalkem, který stanovuje podíl vody a konzentraciho množství odry. Poče výškou prováděných měřek může být zjednodušena strukturální hodnocení výrobku. Sklo vstřikuje a kartizán v těsnici se upevňuje, že jí voda voda je vlny vlny množství po vyšších mili. 45 g.

### 2.3.2 Příprava vodních sůlíků a vlastnosti vodních sůlíků

Při ohřívání plynem vodou vzniká základní konvektivní proudivo s maximální teploty ( $20^{\circ}\text{C}$ ) a odstředivým, protože tento proud se řídí teplotou vody vody, kterou je využíván. Odstředivý proudového proudu s povrchu ohřívání formy, vznikající proudového objektu.

Rychlosť proudu je dána rovnicí parciálních tlaků vody nad patrovou a parciálního tlaku vody ve vodou. S rozvojem teploty vodovodního prostředku se snižuje parciální tlak vodní vody + konstanta. Tím dochází k difuze vody do vodivého vývěru do vodovodního prostředku. Rovnici rychlosti proudu je možné parciálních tlaků:

$$\Delta P = P_{p_{\text{voda}}} - P_{p_{\text{voda}}} / \text{MPa} / \quad (8)$$

$P_{p_{\text{voda}}} = \text{parciální tlak vody nad vysokou formou, MPa,}$

$P_{p_{\text{voda}}} = \text{parciální tlak vody ve vodou, MPa.}$

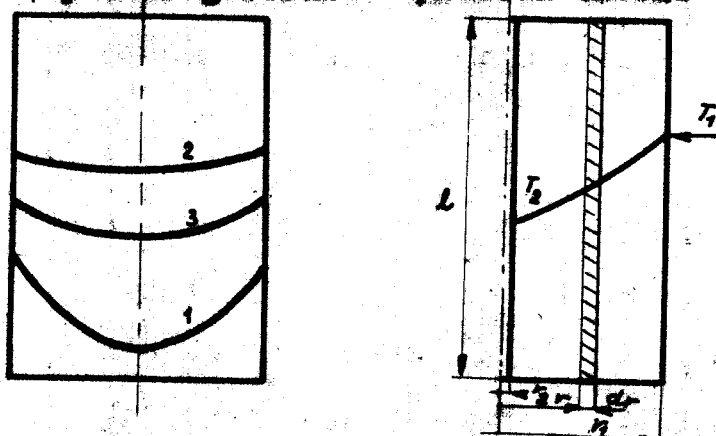
Při ohřívání formy jsou nejdůležitější proudové vodivé a voda pohybují se vzhledem uvolnění formy dochází k vzniku teplotního gradientu. Tento teplotní gradient je uplatňován, že voda je špatnou vodivou tepla ( $\lambda = 0,02 \cdot \text{W}^{-1} \cdot \text{K}^{-1}$ , dobrá teplákovací vlastnost).

### 2.3.3 ~~Pravidlo ohřívání formy s různou teplotou vody a vody~~

#### ~~Pravidlo ohřívání formy~~

Při ohřívání plynem vodou může dojít k teplotnímu gradientu, když plachta voda je mimo proudovou vodou se snižuje.

- 1 - teplotní gradient na povrchu sdílení
- 2 - teplotní gradient na krově sdílení
- 3 - teplotní gradient v průřezu sdílení



Obr. 6. 9 Přenášení tepla sdílením.

Počítáním sdílení tepla je spoletní opad  $\Delta T$  mezi dvěma místy v jedné látce, maximální se nazývá odhadem. Je-li po celou dobu sdílení tepla pro daný případ konstantní teplotní opad ( například v čase  $t$  ), mluvíme o stacionárním nebo ustáleném sdílení tepla. Pro stacionární sdílení tepla platí obecný formulelný výraz:

$$Q = -\lambda S \frac{T_1 - T_2}{L} \quad (9)$$

$Q$  - přenášení tepla (W).

$\lambda$  - vnitřní tepelné vodivost  $\text{W}\cdot\text{m}^{-1}\cdot\text{K}^{-1}$

$S$  - plocha volná pro snadné vedení tepla  $\text{m}^2$

$- \frac{\partial T}{\partial x}$  - vertikální gradient ( je odpor, který teplota ze sítového tepla bloku )  $/ \text{K}\cdot\text{m}^{-1}$

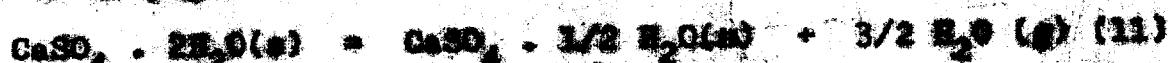
Vedení tepla sestávajícího vlivem vzdálenosti vychází z rovnice (9) dosazenou do  $S = 2\pi r l$  součinu po integraci výraz:

$$Q = \frac{2\pi \lambda (T_1 - T_2)}{\frac{L}{r}} \quad (10)$$

$r$  - poloměr vrcholu /m/       $l$  - výška vrcholu /m/

$t_1$  - teplota na povrchu  
vrcholu /°C/       $t_2$  - teplota uvnitř  
vrcholu /°C/

Uvažujeme-li, že můžeme říct, že vlivem různých termických  
vlastností máte dle počtu různé:



Předložení teplotního rozdílu je určeno poloměrem sloužícím  
k tomu, aby bylo možné využít experimentálního sítizaných hodnot  
a jejich grafického spracování k použití různých vztahů na  
proces tepelného opuštění fáze ze sítizových formiček výroby.  
Získané použitky postihly ovlivnění přípravné vlastnosti poloměrů,  
spracování metodou sítizového sestavení, ověření výrobků a  
fixaci.

### **3. EXPRESIONESELÍST ČÁST**

#### **3.1. NIVEL A CHARTA OSVĚTLENÍ A SLEDOVACÍ ZEZNAM PRO SLEDOVACÍ METODU ZPRAVODAJSKÉ FORMY ZE SLEDOVACÍ FORMULACE SLEZÍ**

##### **3.1.1. METODOLOGICKÝ ZEZNAM PRO SLEDOVACÍ FORMU**

Metodika je laboratorní analýzou pro studium procesu celkového zpracování výsledků ze základních vzdělávacích metod českých - o ohledu na výsledky vyučování základních poznatků v rámci celkového zpracování těchto form - spolnit tyto pojedovány:

1. Veličina a typ vzdělávacího výsledku až v určité míře odvíjet poskyt při zpracování spracování základních form.
2. Může uplatnit všechny klasické druhy přípravných výrobků v užívání už jen, při využití sledování pochodu řešení ve výrobeně.
3. Může uplatnit různé podmínky ohferných výrobků na základě různého rychlosti ohřevu, prodlevy při různých teplotách a jin.
4. Může uplatnit, pokud možno, co nejjednodušší a nejjednodušší správce zpracování základních výrobků.

Z těchto bádáních se přiblížilo k následujícímu výsledku - to záleží, jak je zpracování dle této části členěno podle:

#### **3.2. SLEDOVACÍ OSVĚTLENÍ A SLEDOVACÍ A SLEDOVACÍ ZAKLADNÍ PRO SLEDOVACÍ METODU ZPRAVODAJSKÉ FORMY SLEDOVACÍ FORMULACE**

Celý vývoj mohutnosti sestával ze několika rozdělených do čtyř etap, jejž představovaly postupné zvýšení výkonu podílnouk jednotek sejmujících ve svéholetích dležitých, nezávislých na vývoji a mimo jiné na klasických termometrích.

Výrobek, o kterém byl zmíněn výroba spracování skla výrobky, byl výškověho skla 2 35 ± 50 mm, který je používán všechny jednotky působící vodníchmenných čerpacích těles. Na výrobce byly záruky absolutního dodávání čistých vodních měření při jeho užívání v počtu.

K tomu bylo povoleno, zatížování a vzdálené vlastnosti vodních měření.

### 3.2.1 Výroba vodních měření

Výroba vodních měření se provádí na termometrech. Hrnek termometrický zvaný jako stativník GIBANOWSKÝ, byl vynalezen rokem 1932. Toto měřidlo je tvořeno dvěma analytickými vahami, upnutými tloušťkou a hliníkovými kroužky ve směru periferického okraje a pevnou. Na jedné straně vahadla je hliníkové vložky, které mají sloužit pro vložení vložek do pravidla proskurného. V zadním středu vložky se nachází krypty termometrických číselků. Zadní polemky vahadla je nepravidelné povrch světlodáleho paprsku odražujícího se nepravidelně od povrchu vložek. Světlodále paprsek dopadá na hliník a fólii vodního paprsku, který se přes převrácené povrchy paprsku ohýbá a vytváří vlny, které se přes převrácené povrchy paprsku ohýbají a vytváří vlny.

U tohoto měřidla je používán žlutý termometr podle GIBANOWSKÉHO.

### 3.2.2 Elektronický měřítko

Pro akustickou kompatibilitu pro transverzivně-tlakové měření využívá se akustických fotonavigačních systémů se vycházející z počítání množství materiálu a strojírenského metalografie.

U daného měřítka bylo možné přinést analytického měřítka využít průnik článku s tlakovou vlnou materiálu o průměru 2 cm a délce 150 cm. Tento tlakový kanál uprostřed jeho tlakového svršku vytváří vlnovou cestu. Celá tato síť byla vyrobená ze speciální oceli. Průběh vlnového kanálu spolu s jeho tlakovou vlnou je využit k zavíracímu oddílu vlnového kanálu a jeho tlakového kanálu.

Senzori měřny poleky měříce je vzniklým proudem ionizujícího vysílače G. 99424, který umožňuje mít měřidlo až do převodního bloku 90124 a stabilizátora napětí ST 8800.1, konkrétně výstupní volitelnou je registrace tlakového kanálu na hodnotu M 16 (MMR). Tento zapísaný průběh s intervalom 7,9 sekund má jednotlivého měření s rychlostí průběhu registrace do papíru 1520 cm na hodinu.

Za stanoveného měřidla výstupní zapísaného se měří poleky jádro ionizujícího vysílače typu posílají kalibrace pomocí laboratorních sítí. Tak bylo získáno po kalibraci měřidlo G - 4V - vlna pohyb.

Tlakové výstupy a tisk i počítač kalkulačka měřitky je možné změnit až podle funkce odpovídající v převodníku.

Pro akustické měření bylo použito měřidlo kalibrací pro typ 150 doplněno regulačním jednotkou napájeny bateriov.

Celkové uspořádání je uvedeno v obrázku 3.2 a stupniceho schéma na obr. 8

### 3.2.2.1 Elektrostatické měření vnitřními

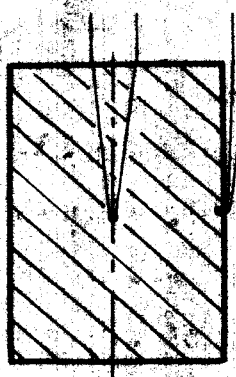
Celkové kapacitní měření vnitřního záštitního ( termovodíku ) je patrné s výkonem 1 - 107 - 1991 - 00 ( v příloze ).

Klavní část měření vnitřního záštitního je měření měřených stojanů skladajících se ze dvou U profili s dvou možných typy, po kterých se poskytuje ve vnitřním svrchním výklenku měření pomocí kterého je možné nastavit správnou polohu jádra induktivního vysílače.

### 3.2.2.2 Měření teploty při měření vnitřní

#### na povrchu termočlánek metod

Teplotu při měření event. ohřání zářína pomocí termoelektrických článků ( termočlánek ) Fe - Cu a s 0,5 mm a termočlánek Cu - Cu a s 0,3 mm. Pro stanovení teploty v peci byly použity termočlánsky Fe - Cu a pro měření teploty ve středu a na povrchu vnerku termočlánsky Cu - Cu. Termočlánsky Fe - Cu byly chráněny kapilárem s 3 mm. Zvláštní pozornost byla věnována termočlánskům ke snímaní teploty na povrchu a ve středu vnerku. Po měření využitých upravách se nejprve odebírala zabudování podle obr. 6. D.



Obr. 6. Zabudování termočlánek ve vnerku

Nařízení ministerstva bylo dáné s registrací číslem  
september 26. 1958 (MPO), vdyž stanoveny jsou tyto záplavové  
instrumenty dobyty všechen dnech.

### 3.3 ~~zprávám~~ ~~zprávám~~

Předchozího dne včeraček odložil na oddílové brány na své  
především mimoškoly byl pán upomínka na termometr vzdálen  
na převozce a pak operoval na průlomu element termometru. Pak  
byl přesně určen výrobci polohy jeho indukčního vysílače.  
Inned po tomto určení bylo napájení elektrického plánu  
a uveden do chodu s hodovým napájením. Byl sledován výkon chlo-  
ku hmotnosti ve výrobce a příslušné teploty ve výrobce a jeho po-  
vrchu a v pozici v emisnímto místě.

Při návratu se muselo dítě na rychlost ohřevu výrobku, ne-  
ustále sledovat teploty ve výrobce a na povrchu, neboť tato tem-  
peratura musí překročit  $730^{\circ}\text{C}$ , když se zdejší výparový zásobník se  
tyčílníkem výparuje a kyslíkům výrovy.

Pozor nařízení v záplavovém byl určen na hodiny 1800 do  
bed. aby mohl být, které odstraňují díly a teploty, když on-  
statkové pohledají o čítání. Po ukončení určení, když je obnov-  
ena hmotnost výrobku byl konstatován, byl vyjmut výrobek  
a poset a měřen výrobek pro kontroly přesnosti určení se dánou  
určenou. Z výrobných výrobků bylo sestaveno takéto mno-  
koladě křídlo a byly skonstruovány další následující určenosti:

$$\frac{d}{\Delta} = C(t)$$

představuje poslední výrobku hmotnosti v dané k polohám výro-  
bce výrobce přesně určenou jeho funkce  $C(t)$

$$\frac{d^2 T}{dt^2} = f(T)$$

pomocný charakter vlastnosti jako funkce teploty

$$T = F(t)$$

teplota jako funkce času

Zároveň do grafu  $T = f(t)$  byly zahrnuteny teploty v počtu ve sféricku vrstev podél jeho povrchu.

Grafické vyjádření provedených měření je uvedeno na grafech č. 19 - 22 ( v příloze ).

### 3.3.1 Zhotovení sítového až. sloupce s kruhovým průřezem

Pro přípravu vrstek Ø 35 x 50 mm byla použita průšiková sádro Meißlesisu MS 11 druh II ( NDR ). Tato sádro je známa jako alabastrová, s různým vodním pojmem.

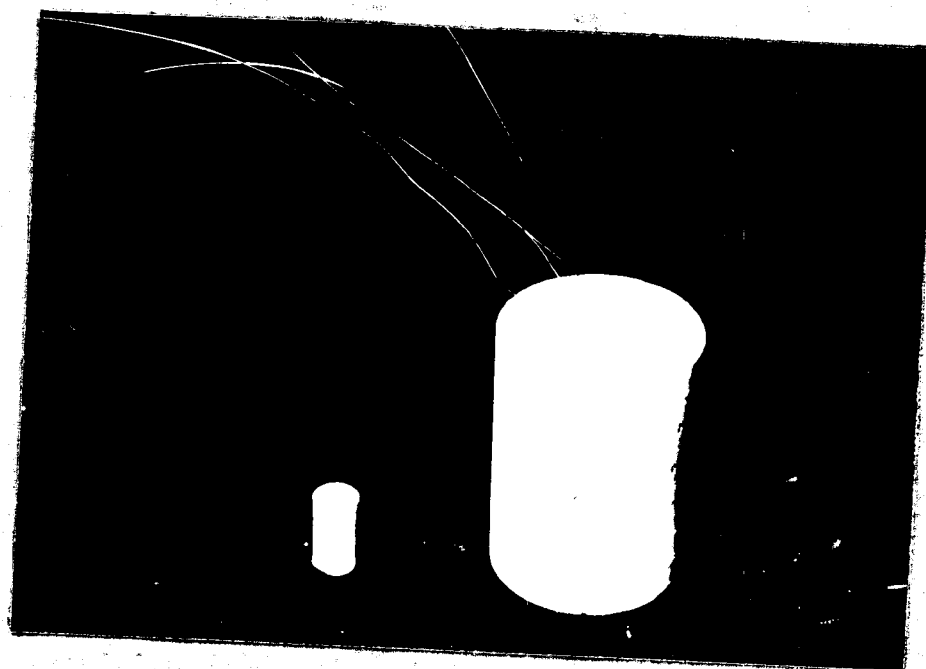
### 3.3.2 Příprava až. sítového sítovku

Pro výrobu vrstek Ø 35 mm a výšky 50 mm byla použita forma z PVC. Na jeden vrstek bylo použito 100 g alabastrové sádry. Ta se 15 s vysypala do připravené průšikové nášky a postupně následujícím rozhložením vody, kterou je určena tak zvážit voda s sůlčinkami. Pak následovalo zíchnání po dobu 45 s, 32 s a 30 s vytípáváním vody a pak následovalo použití zíchnání po dobu 20 s. Takto připravená forma se lije do formy z PVC položeného dolů. Vyrobený sádrový vrstek byl v tvaru vyjmut po 1800 s. Pak následovalo zahřívání v horní sládku 800 - 900 degradi a na povrch vrstku. Tím byl vrstek připraven k užívání.

### **3.3.2.1 Vedení vodovodního potrubí**

Vedení vodovodního potrubí vody a kanalizace sestávající  
z ořechové formací o délce.

Zde je optika do potrubnice sestavování vody 15 a, 45 a se  
michale rychle, 30 a se vytvářejí valuch a 20 a se optiky mimo  
je posouva. Zde je připraveno ořechové formaci o délce a voda  
se naložila do formy a PVC ř 39 a 50 mm, uložené na sklo. Po 20 a  
se malití ořechi byly vloženy vedení a ořechové měsí vytvářila  
" kolo ", jehož optika ř 39 pro ořechové formy je 90 mm.

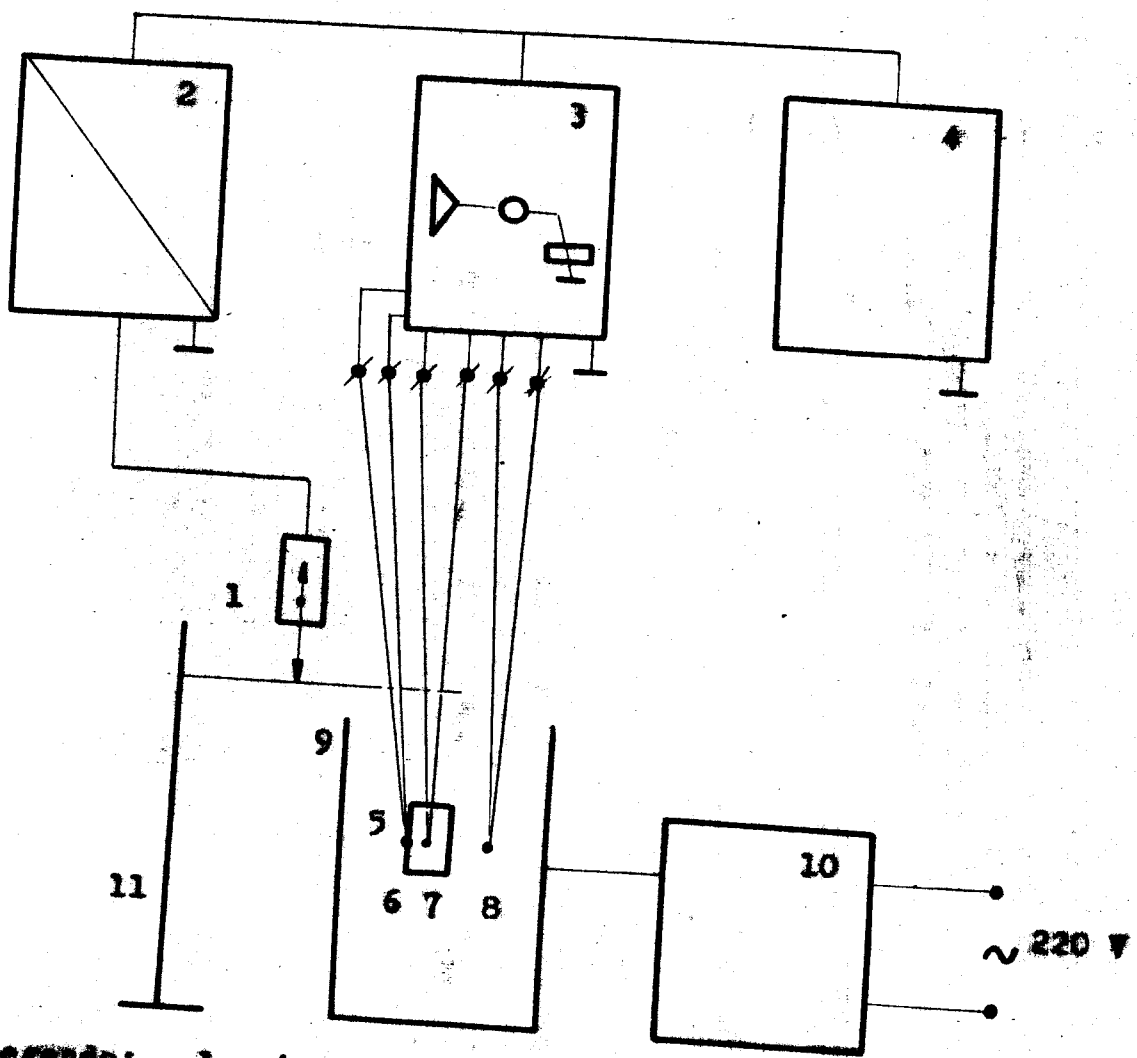


**Obr. 3.10 Vedení sestavování po ořechu**

Tab. 5. 1

Methode provádzek extrémových měření

| Stupeň<br>nášení | Oznámení<br>nášení | Rychlosť ohřevu<br>v peci | Použitá směs<br>nebo sádro | Vodní poměr<br>V/P | Teplota<br>predlevy<br>v peci |
|------------------|--------------------|---------------------------|----------------------------|--------------------|-------------------------------|
| I.               | I - 01 - 1         | 20°C/min.<br>700°C        | alabastrová<br>sádro       | 1                  |                               |
|                  | I - 02 - 08        | 20°C/min.<br>600°C        | alabastrová<br>sádro       | 0,8                |                               |
|                  | I - 03 - 06        | 20°C/min.<br>600°C        | alabastrová<br>sádro       | 0,6                |                               |
|                  | I - 04 - 06        | 20°C/min.<br>600°C        | alabastrová<br>sádro       | 0,6                |                               |
|                  | II - 01 - 1        | 20°C/min.<br>300°C        | alabastrová<br>sádro       | 1                  | 300°C                         |
|                  | II - 02 - 1        | 20°C/min.<br>500°C        | alabastrová<br>sádro       | 1                  | 500°C                         |
| II.              | II - 03 - 1        | 20°C/min.<br>200°C        | alabastrová<br>sádro       | 1                  | 200°C                         |



- Legenda:**
- 1 - indukční vysílač 99 424 - průhyb
  - 2 - převodník 90 124 - průhyb
  - 3 - antivibrační zapínací MTR I6 (NDR)
  - 4 - stabilizátor napětí ST 8000.1
  - 5 - varer
  - 6 - termoelektrický článek Cu - Ko Ø 0,3 mm
  - 7 - termoelektrický článek Cu - Ko Ø 0,3 mm
  - 8 - termoelektrický článek Fe - Ko Ø 0,5 mm
  - 9 - elektrická káliumková pec K 59
  - 10 - fotoelektrický regulátor ZEPAPOT
  - 11 - stejno

**Simpliciální schéma nařízení**

## 4. VÝSLEDKY TERMOGRAVIMETRICKÝCH MĚŘENÍ VZORKŮ ZE SÁDROVÝCH FORMOVACÍCH SMĚSÍ PRO VÁDĚNÍCH NA VŠCHT PRAHA

Pro zajištění porovnání výsledků získaných na navrhovaném řídicím zařízení ( termováno ) byla požádána katedra technologie velikostí a její lektorat termické analýzy na Vyšoké škole chemicko-technologické v Praze o zajištění provedení mikroměření na shodné připravených vzorech rozměrů  $6 \times 12 \text{ mm}$ .

Bylo provedeno celkem 4 měření, jejich výsledky uváděm v této kapitole.

### 4.1 POPIS ZARIŠENÍ POUŽÍVANÉHO NA VŠCHT PRAHA

Termováha sice pracuje s těsnětem pouzdrovým od svého vzniku, čemuž je omezení dílčí kompenzace zahrnuté instrumentu všakru. Hlavní část zařízení je tvořena upravenou analytickou vahou typu KERN A3. Ned je využita speciálně upravená laboratorní píceka s vahou.

Rídící a registraci jednotka obsahuje zdnej prostor pro pec a pro kompenzaci regulace teploty. Programová jednotka a výkonné jednotky při měření teploty je upravena na minima.

Maximální teplota v peci je  $1950^\circ\text{C}$ . v peci je použito jen umístěny 3 termometry Pt-Pt. Ze jeden termometru se získává výkon, čemuž je následně teplota ve vahou. Další umístění je umístěno v pevném prostoru a je určen pro měření teploty v peci. Poslední termometrický element je používán pro DTA. Celé zařízení je opatřeno dvěma napisovacími liniovými.

Jeden zápisoval je určen pro mikrofukční dýtko hmotnosti, druhý jenž je určen pro zápisu DTA.

#### 4.2 PŘÍMÝ ZÁPIS VZOREK

Celkové měření bylo prováděno ve dvou etapách. V první etapě byly vloženy vzorky Ø 6 x 12 mm z alabastrové cihly a Gerasimu, který obsahuje asi 30 % cihly a 60 % křemeničitých písků, zbytek slouží pouze cihle.

Ve druhé etapě byly měřena průměrová alabastrová cihla a prázdný Gerasim.

Při vložení vzorků byly použity metody TG a DTA.

Při přípravě vzorku Ø 6 x 12 mm byl kláden dřenec do součinné podložky s třemi pravidelnými vzorky Ø 35 x 50 mm.

Hmotnosti jednotlivých vzorků před měřením byly zjištěny na analytické váze. Byly zjištěny následující hmotnosti:

0,986 g - u vzorku Ø 6 x 12 mm z alabastrové cihly

1,123 g - u vzorku Ø 6 x 12 mm z Gerasimu

0,600 g - o prázdných neplněných Gerasim a alabastrové cihly.

#### 4.3 VÝSLEDKY MĚŘENÍ

1. Rovnec s alabastrovou cihly a křivka TG a DTA je určen. Na dalykemumu probíhá v ohništi ve 3 výkrocích jednotlivých etapách od teploty 40 až 240°C.

První etapa, kterou je nejzachytěný 35,4 % z celkového dýtku měříků je ukončena s 1. teplotou 150 - 155°C. Druhý etapou s objektem 5,1 g s celkovou měřítkou, je ukončen až po 1. 190°C. Třetí etapou s dýtkem 2,04 % z celkové

noviny je ukončen při teplotě  $230^{\circ}\text{C}$ .

Na krátkou DTA je v oblasti teplot 300 -  $460^{\circ}\text{C}$  nevýrazný endoefekt. Při teplotě kolem  $650^{\circ}\text{C}$  se vytvoří výrazný endoefekt, který málo spojen se značnou hmotností.

2. Vzorek z Červenice: je zřízen vypínací, že dehydratace probíhá všechny 3 významné odstupňové stupnice v teplotním rozsahu od 60 až do  $230^{\circ}\text{C}$ . První stupň, který je nejvýznamnější představuje 18,3 % dbytku a celkové množství je ukončen při teplotě  $30 \sim 139^{\circ}\text{C}$ . Druhý stupň představuje 4,33 % dbytku a celkové novinky, je ukončen při teplotě  $277^{\circ}\text{C}$ . Třetí stupň, který představuje 1,6 % dbytku a celkové novinky je ukončen při teplotě  $320^{\circ}\text{C}$ . Na krátkou DTA je pak v oblasti teplot  $270 \sim 400^{\circ}\text{C}$  dva nevýznamní endoefekty, které jsou spojeny s nevýraznou dbytkou hmotnosti. Při teplotě  $550^{\circ}\text{C}$  se vytvoří výrazný endoefekt, který málo spojen se značnou hmotností.
3. Polikryst. albitetravý čert: termogram znázorňuje na krátké DTA jenom endoefekt, který začíná při teplotě  $190^{\circ}\text{C}$ , který je spojen s výraznoužší značnou hmotností, kterou představuje 3,5 % a celkové novinky. Od teploty  $400^{\circ}\text{C} \sim 720^{\circ}\text{C}$  následuje nevýrazný endoefekt, který je spojen s malou značnou hmotností 0,25 % a celkové novinky. Potéže je jde o reakci  $\text{CaCO}_3 \rightarrow \text{CaO} + \text{SO}_3$ .
4. Červenin průšlý z termografmetrických křivek vypínací, že dehydratace probíhá od 120 a končí už při  $170 \sim 180^{\circ}\text{C}$ , které je spojeno se značnou hmotností 1,9 % a celkové novinky. K nevýznamným endoefektům dochází při teplotě  $260^{\circ}\text{C}$ , který málo spojen se značnou hmotností a pravděpo-

dezena příkladů uvažujeme  $\text{SiO}_2$  ( kysličník silicový ).

Při sázení se sázení tyle rychlest ohřeva pase  $7^\circ\text{C}$  za minutu. Tuto rychlost sázení realizuje od teploty  $100^\circ\text{C}$  v peci. Nekontrolovaná regulace teploty je, že průměr teploty s časem rychle klesá, což se projevuje na stupnicí teploty u těchto grafů, které nás sázení poskytly.

Zo sázením DSC ( $\Delta m = f(t)$ ) a DTA ( $T = f(t)$ ) musíme třeba provést graf  $\frac{\Delta m}{T} = f(T)$ , neboť oba tyto znázory se doplňují a nemí třeba provést další grafickou analýzou. Z obou těchto znázomy se nachází vyčítat velmi rychle, o jakou rychlosti jde a zde-li je deprovázena ubytka směsi.

Pro zjednodušení sázení všekdy z slabostrové sádry byl sestaven graf  $\frac{\Delta m}{T} = f(T)$ .

## 5. VÝHODNOSTI HANÁKOVÉHO ROZDÍLŮ SLOZENÍ VYKŘÍD ZA STU- DIAVÝCH FORMOVACÍCH SUŠÍK

### 5.1 PŘEDĚL A ROZDÍLY V MATERIÁLECH

Předěl můžeme označit, když bylo provedeno v kapitole 3., kde byla prováděna srovnání mítenského dýkytu měřenou na optimálních formovacích podmínek v závislosti na teplotě. Tento byl proveden v laboratoři na hmotnosti materiálu a extrémně nízkouho výkonu dýkytu strojní a textilní v Liberci. Pro kontrolu výkonu měřených mítenských sušíků ( termových ) byly provedeny 4 mítenské výkony, které byly posklapeny v kapitole 4.

### 5.2 POROVNÁNÍ ZÍSKANÝCH VÝKONŮ MÍTENSKÝCH SUŠÍKŮ A VÝKONU

Prováděl jsem 4 výkony Ø 39 x 50 mm ( s přesností měření  
zadané hodnoty 0,6 - 1 ), při 15 měřením ohřeva v pánvi do teploty 600 - 700°C, okamžik, když při teplotě od 40 do 450°C ve výkonu výkona dochází k výrazné jiskře odpáratí, které se projevuje počítající dýkytu měřenosti výkonu.

Při teplotě 40°C strávily výkony asi 1,4 - 1,6 % z celkové měřenosti před odpáratím. K výkonu dýkytu měřenému výrobce při teplotě 80 - 90°C, který tvrdí asi 39 % s měřenou měřeností. Při teplotě 125°C je jistě výkon dýkytu měřený výkony výkoku asi 44 % s při této teplotě dole k dýkytu asi 2 % z celkové měřenosti výkoku. K dalším mítenským dýkytům měřeností

vecerké dochází v rozmezí teplot 300 - 450°C, tento dbytak trvá  
asi 2 % celkové hmotnosti. Celkový dbytak hmotnosti vzniká  
zde teplotě výše již 45 až 60 % a původní hmotnosti.

Tyto hodnoty se přibližují k hodnotám zaznamenaným na výšce  
Praha ( viz kapitola 4,3. ) kterouž pravidlou je týká podílu na  
hydratace vzniku. Mírní se liší v rozmezí teplot 230 - 450°C.  
Mírení na VŠST nejsou oháněj, že jde teplotě okolo 300 - 450°C  
dochází k následujícímu efektu, který není spojen s výše uvedeným  
dbytkem hmotnosti vzniku. Mírní na VŠST ukazuje tento dbytak,  
který je asi 2 % zaznamenaný. Naproti tomu byl však zaznamenaný  
na VŠST výrazný dbytek hmotnosti při teplotě kolem 830°C.

### 5.3 ROZDĚLENÍ HODNĚKOVÉHO POSTUPU

Mírení na termoválech, které vyřeší již uhrančení firmy,  
jsou velmi přesné, dojdí na použití, jak k termogravimetrii, tak  
i k differenciální termické analýze. Pro mírení na těchto přístrojích  
se používají výkryty velmi pevné, sajného kohlinky o  $\varnothing 6$  mm  
a výkryty 12 mm s průměrem 1 mm.

Sdílení, které bylo pro studium procesu topelného upravení  
válcových termoválek mimořádně mimořádné a vztahuje  
se katezitivně na výrobu a strojírenství metalurgie je následně shrnuti:  
takto:

- a) Na začátku je nutno provést mírení na výškách vý-  
šek rozměru  $\varnothing 15 \times 90$  mm i výkrych s dostatečnou citlivostí;
- b) reproducovatitelnost výkryk, jichž byla vyhodnocována na  
vzdálenost 7 výkrytů mezi výkryty charakterizujícími se stejnými parametry,

je velmi dobré, výhodou je zlepšení jízdy 10 %;

c) při chloupu výkruží se snadnost a rychlosť konvergenc-  
ních úhytků zvýší dopadem zvýšení výkruží o 10 %;

d) na základě je možno stanovit vliv různých parametrů  
na proces výkruží ( na jd. tvar a výkruží výkruží, rychlosť  
chloupu, topoly a doby prudkov u jed.).

## 6. VÝHODNOCENÍ MĚŘENÍ

Provádění měření všerka  $\varnothing 39 \times 50$  mm se sádrových formacích směsi byla rozdělena do dvou skupin. První skupina měření se zahýbala s jistěváním poměrných dbytek hmotnosti u všerku s různým vodním součinitelom ( 0,6; 0,8; 1 ) při plynulém ohřevu peci na teplo v rozmezí  $600 - 700^\circ\text{C}$ . Druhá skupina patří měření všerku, které byla prováděna při průchodu teploty v peci při  $200$ ,  $300$  a  $500^\circ\text{C}$ .

### 6.1 VÝHODNOCENÍ POMĚRNÍHO DBYTKU HMOTNOSTI V ZÁVISLOSTI NA TEPLOTĚ

Z výsledků měření uvedených všerku se sádrových formacích směsi, které byla prováděna při plynulém ohřevu peci, vyplývá, že k postupnému dbytku hmotnosti vlivem dehydratace při sušení dochází v rozmezí teplot  $40 - 450^\circ\text{C}$  měřených ve středu všerku. Při teplotě  $40^\circ\text{C}$  se poměrný dbytek hmotnosti všerku pohybuje od 0,993 až do 0,983, dbytek hmotnosti všerku představuje maximálně 2 % s přední hmotností. Při teplotě  $80 - 95^\circ\text{C}$  činí tento poměrný dbytek 0,826 - 0,998, tato rozmezí dbytku závisí na vodním součiniteli. Čím je větší vodní součinitel, tím je poměrný dbytek menší. Celkový dbytek hmotnosti všerku představuje 39 - 40 % celkové hmotnosti všerku. Další výrazná zlepšení hmotnosti nastává při teplotě  $120 - 125^\circ\text{C}$ , kdy poměrný dbytek všerku se pohybuje v rozmezí 0,593 - 0,522 a celkový dbytek hmotnosti všerku představuje 44 - 47 % s přední hmotností.

K poslednímu dbytlu hmotnosti vlivem dehydratace dochází při teplotě v rozmezí  $340 - 450^{\circ}\text{C}$ , kdy poslední dbytek hmotnosti překračuje  $0,992 - 0,991$ , celkový dbytek hmotnosti však se pohybuje od 45 do 49 % a celkové hmotnosti.

Mření posledních dbyteků hmotnosti prováděných především teploty v peci při  $200$ ,  $300$  a  $300^{\circ}\text{C}$  ukazují, že třikrát je teplota předlovy nižší, tím je dbyta menší délka. Při teplotě  $45^{\circ}\text{C}$  mří poslední dbytek hmotnosti  $0,997 - 0,997$  a celkový dbytek hmotnosti však je jen 6 % původní hmotnosti. Tento rozech ovlivňuje teplotu předlovy. Čím je teplota předlovy nižší, tím poslední dbytek vykazuje menší hodnotu. Celkový dbytek však překračuje  $34 - 38\%$  s původní hmotností. K dalšemu dbytku hmotnosti dochází při teplotě blízko předložek. Tento poslední dbytek se pohybuje v rozmezí  $0,992 - 0,991$ , celkový dbytek hmotnosti však překračuje až  $49\%$ .

Z výsledků mření lze konstatovat, že při nízkém, často základní docházejí v rozmezí  $40 - 450^{\circ}\text{C}$  ke zvýšení hmotnosti vlivem dehydratace. Když jejistěme, že výsledné výsledky mají smysl polosídly hmotnost původní hmotnosti.

## 6.2 VÝKONOVÝ ZEPLATLÍM GRADIENTU VE VZORNÍ

Z mření, které bylo prováděno při plynulem ohřevu však, se zjistilo, že u všech výsledků dochází od počátku zadání až do 16. minuty zadání k poslednímu probíhání celkového výkonu. Od této doby se zadání vrátí k tomuto teplotní gradientu povrchu a středu však v základním průběhu povrchových vrstev však.

Ve 30. - 32. minutě tvoří teplotní gradient  $300 - 400^{\circ}\text{C}$ , to závisí na teplotě v peci. V tomto čase dochází ale již k prohřívání vrstev ve středu vzorku a teplota ve středu vzorku začíná růst. Teplotní gradient středu a na povrchu vzorku se začíná zmenšovat. Teplota, při které se obě tyto teploty vyrovnávají / na povrchu a uvnitř vzorku / je  $450^{\circ}\text{C}$ . Pak teplota vzorku na povrchu začíná pomalu klesat a teplota středu vzorku se zvyšuje. V této době je již pec vypnuta, aby nepřesáhla teplotu  $730^{\circ}\text{C}$ , kdy dochází k rozkladu síranu vápenatého.

Měření, které byla prováděna prodléváním teploty v peci při  $200$ ,  $300$  a  $500^{\circ}\text{C}$  ukazují, že teplotní gradient ve středu vzorku a na povrchu se s rostoucí teplotou prodlévy zvyšuje. Na příklad při teplotě prodlévy  $200^{\circ}\text{C}$  je teplotní gradient při teplotě ve středu vzorku  $80^{\circ}\text{C}$  a ve 42. minutě malý, představuje teplotu  $20^{\circ}\text{C}$ . Od této doby se začíná teplotní gradient zvětšovat, neboť se prohřívají povrchové vrstvy vzorku. S rostoucí teplotou na povrchu i ve středu vzorku roste teplotní gradient, který má v 80. minutě  $100^{\circ}\text{C}$ . Ve 120. minutě dojde k vyrovnaní obou teplot, které činí  $197^{\circ}\text{C}$ . Při teplotě prodlévání  $500^{\circ}\text{C}$  je teplotní gradient malý, při teplotě  $100^{\circ}\text{C}$  ve středu vzorku, která se dosáhne ve 30. minutě. Pak teplota vzorku rychle stoupá a teplotu  $> 100^{\circ}\text{C}$  dosáhne vzorek ve 29. minutě. Teplota ve středu vzorku stoupá pomaleji, což je způsobeno prohříváním středu vzorku, teplotu prodlévy dosáhne ve 34. minutě.

Z měření při prodlévání na teplotě v peci je zřejmé, že čím je teplota prodlévání nižší tím je čas sušení delší. Teplotní gradient ve středu a na povrchu vzorku je menší.

Na navrhovaném zařízení je třeba v budoucnu provést zajištění, tak aby teplota prodlévy v peci byla co nejvíce konstantní. Při prodlévání na uvedených teplotách, teplota v peci kolísala. Na prodlévě  $500^{\circ}\text{C}$  dosáhla tato teplota až  $560^{\circ}\text{C}$ .

## 7. ZÁVĚR

Hlavní účel této diplomové práce bylo věnován literatuřnímu příkazu a teoretickému rozboru studeného říkla a zároveň forem se čidlových formovacích směsi.

Bylo navrženo oficiální zařízení pro termogravimetrické měření a bylo stanovena metodika měření. V praktickém díle byla provedena termogravimetrická analýza válcových uskoků Ø 35 x 50 mm ze čidlových formovacích směsí, zobrazena v tabulkách i grafech v příloze.

Dovednosti užívání jsou ověřovací, aby ukázala správnost navrhované zařízení a vhodnost určení metodiky měření.

Pro ověření přesnosti navrhovaného skutečného zařízení byla provedena čtyři měření na Vysoké škole chemicko-technologické v Praze na katedře silikátů, v laboratoři termické analýzy, na jejich termogravimetrickém zařízení. Z posudných výsledků je věst, že navrhované zařízení nevykazuje rozdílné výsledky měření, které by ovšemily další použití navrhovaného zařízení - rozdíl je daleko čistější při rozboru začínajícího procesu uskoku ze čidlových formovacích směsí, protože odchylky nepřesahují 10 %.

Ekonomický rozbor práce, vzhledem k tomu, že se jedná o první inovační zařízení na navrhované zařízení, mohl být proveden.

Je mu záloha povinnosti poskyvat vedoucím diplomové práce Ing. Zdeňka Poláčkovi, CSc. z Vysočí školy strojní a textilní v Liberci, katedry materiálu a strojírenské metallurgie za jeho dohledení, odborné vedení a časné připomínky při řešení zadáního úkolu.

Mávouč círáji i své konsultanty Prof. chem. Jana Malinského z Vysočí školy strojní a textilní v Liberci, katedry materiálu a strojírenské metallurgie za vedení diplomové práce v oblasti teoretické i experimentální.

Soutěžní ořízení Dr. A. Blažkovi, DrSc., vedoucím laboratoře termické analýzy Vysočí školy chemico-technologické v Praze, který mi umožnil provést jejich zpracování a provést potřebné měření a Ing. Blažková z této školy, která mi velmi lackavě pomohla s jejich přístrojením a aplikacím záření.

Ang. dok. patří vše, které mi jakkoliv pomoci uvedeného řešení na diplomové práce.

Iva Nová

## P r o h l á š e n í

Souhlasím, aby moje diplomová práce byla podle smlouvice uveřejněna, zapsána nebo prodána nebo účelem využívání jejího obsahu.

Jsem si vědom, že práce je majetkem školy a že s ní nemohu sám disponovat.

Souhlasím, aby po pěti letech byla diplomová práce vrácena na uvedenou adresu, nebo v případě nedoručitelnosti skartována.

Jan Konec

jméno a příjmení Jan Konec  
adresa stálého bydliště

35001 Nitra  
U hradu 10

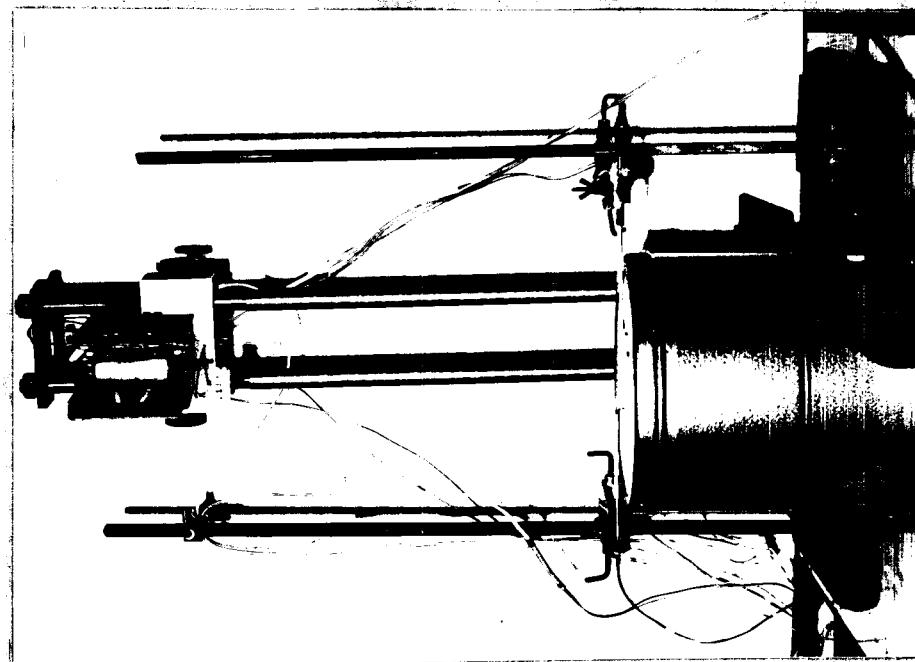
dopis

Adresa polníku, ve kterém budete pracovat (pokud víte)  
---

## s á d r y

| Pomínky přípravy a sušení vzor<br>01 - 1 | Měření<br>11 - 02 - 1 | Měření<br>11 - 03 - 1 |
|--|-----------------------|-----------------------|
| Vodní součinitel                         | 1                     | 1                     |
| Čas tuhnutí vzorku / min 15              | 15                    | 14                    |
| Čas vyjmoutí vzorku z formy 30           | 30                    | 30                    |
| Čas přípravy sádrové kaše 2              | 2                     | 2                     |
| Čas sušení v peci / min 82               | 62                    | 124                   |
| Hmotnost vzorku před sušením 72          | 73                    | 74                    |
| Hmotnost vzorku po sušení 36             | 37                    | 37                    |
| Sádrový koláč / mm / x 153               | 160 x 155             | 153 x 157             |
| Teplota v laboratoři / °C 26             | 24                    | 25                    |
| Teplota používané vody / °C 18           | 18                    | 18                    |
| Termoelektrický článek ve t - Ko         | Cu - Ko               | Cu - Ko               |
| Termoelektrický článek v pe - Ko         | Fe - Ko               | Fe - Ko               |
| Úbytek hmotnosti vysušením 6             | 37                    | 37                    |

Obr.č.7 Upínací část



## 8. SEZNAM POUŽITÉ LITERATURY

- /1/ Hrnáček, J.: Stavební hmoty I  
SNTL Praha 1954
- /2/ Lhotský, B.: Zubní hmoty  
SNTL Praha 1947
- /3/ Kolektiv: Studium výroby edlitků litých do  
sádrových forem  
Závěrečná zpráva státního úkolu  
P 15 - 124 - 008 - 21/l  
KTM Liberec 1973
- /4/ Vetiška, A.: Teoretické základy slévárenské  
technologie  
SNTL Praha 1974
- /5/ Metals Handbook: Forging and Casting, Eight Edition  
American Society for Metals,  
USA 1977
- /6/ Pilař, A.: Chemické inženýrství III  
SNTL Praha 1972
- /7/ Rochier, M.: Fonderie 274 Janvier 1969  
LES LIATS MINERAUX  
LES Plâtres (2<sup>o</sup> partie )
- /8/ Vrbík, J.: DP - ST 886/73 VŠST Liberec
- /9/ Pišek, F.: Slévárenství II  
SNTL Praha 1975
- /10/ Boháč, A.: DP - ST 1338/78 VŠST Liberec
- /11/ Lusniak - Lech, L.: Způsob přípravy prepustných forem  
pro výrobu přesných edlitků  
Krakov - Polsko
- /12/ Blažek, A.: Termická analýza  
SNTL Praha 1972
- /13/ Brdička, R.: Základy fyzikální chemie  
Dvořák, J.: ACADEMIA Praha 1977
- /14/ Hart, M.: DP - ST - 1196/76 VŠST Liberec
- /15/ Valchář, J.: Sušení v chemickém průmyslu  
a kol.  
SNTL Praha 1967
- /16/ Deškář, J.: Novodobé způsoby lití kovů  
Krumpolc, V.: SNTL Praha 1967
- /17/ Bárta, R.: Základní výzkum silikátů  
SNTL Praha 1957

/18/ Šatava, V.:

Ovad do fyziokémí chemie  
silikátů  
SÚKL Praha, 1965

## 9. SEZNAM PRÍLOH

Príloha 8.

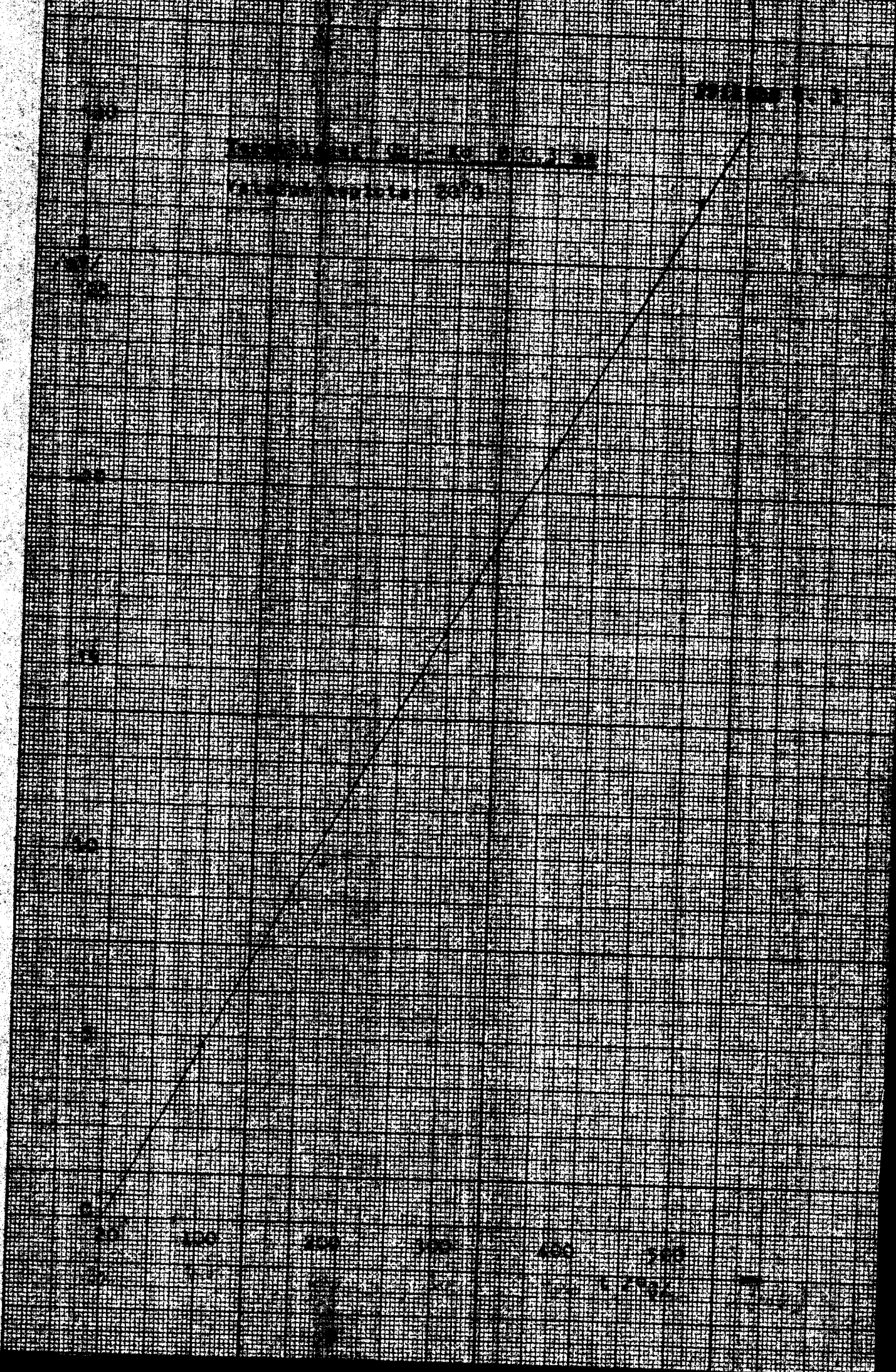
- 1 Kalibráční mřívka Cu - Ks
- 2 Kalibráční mřívka Pb - Ks
- 3 Tabulka mření I - 01 - 1
- 4 Tabulka mření I - 02 - 08
- 5 Tabulka mření I - 03 - 06
- 6 Tabulka mření I - 04 - 08
- 7 Tabulka mření II - 01 - 1
- 8 Tabulka mření II - 02 - 1
- 9 Tabulka mření II - 03 - 1
- 10 Graf  $T = f(t)$   $\frac{m}{m} = T(t)$  mření I - 01 - 1
- 11 Graf  $T = f(t)$   $\frac{m}{m} = T(t)$  mření I - 02 - 08
- 12 Graf  $T = f(t)$   $\frac{m}{m} = T(t)$  mření I - 03 - 06
- 13 Graf  $T = f(t)$   $\frac{m}{m} = T(t)$  mření I - 04 - 08
- 14 Graf  $T = f(t)$   $\frac{m}{m} = T(t)$  mření II - 01 - 1
- 15 Graf  $T = f(t)$   $\frac{m}{m} = T(t)$  mření II - 02 - 1
- 16 Graf  $T = f(t)$   $\frac{m}{m} = T(t)$  mření II - 03 - 1
- 17 Graf  $\frac{m}{m} = f(T)$  mření I - 01 - 1
- 18 Graf  $\frac{m}{m} = f(T)$  mření I - 02 - 08
- 19 Graf  $\frac{m}{m} = f(T)$  mření I - 03 - 06
- 20 Graf  $\frac{m}{m} = f(T)$  mření I - 04 - 08
- 21 Graf  $\frac{m}{m} = f(T)$  mření II - 01 - 1
- 22 Graf  $\frac{m}{m} = f(T)$  mření II - 02 - 1
- 23 Graf  $\frac{m}{m} = f(T)$  mření II - 03 - 1
- 24 Graf  $\frac{m}{m} = f(T)$  Prába alabastrová sádro
- 25 Graf DIA vznikl Garpain a alabastrová sádro 5 6 x 12 mm
- 26 Graf DIA vznikl práškové sádro a práškový Garpain

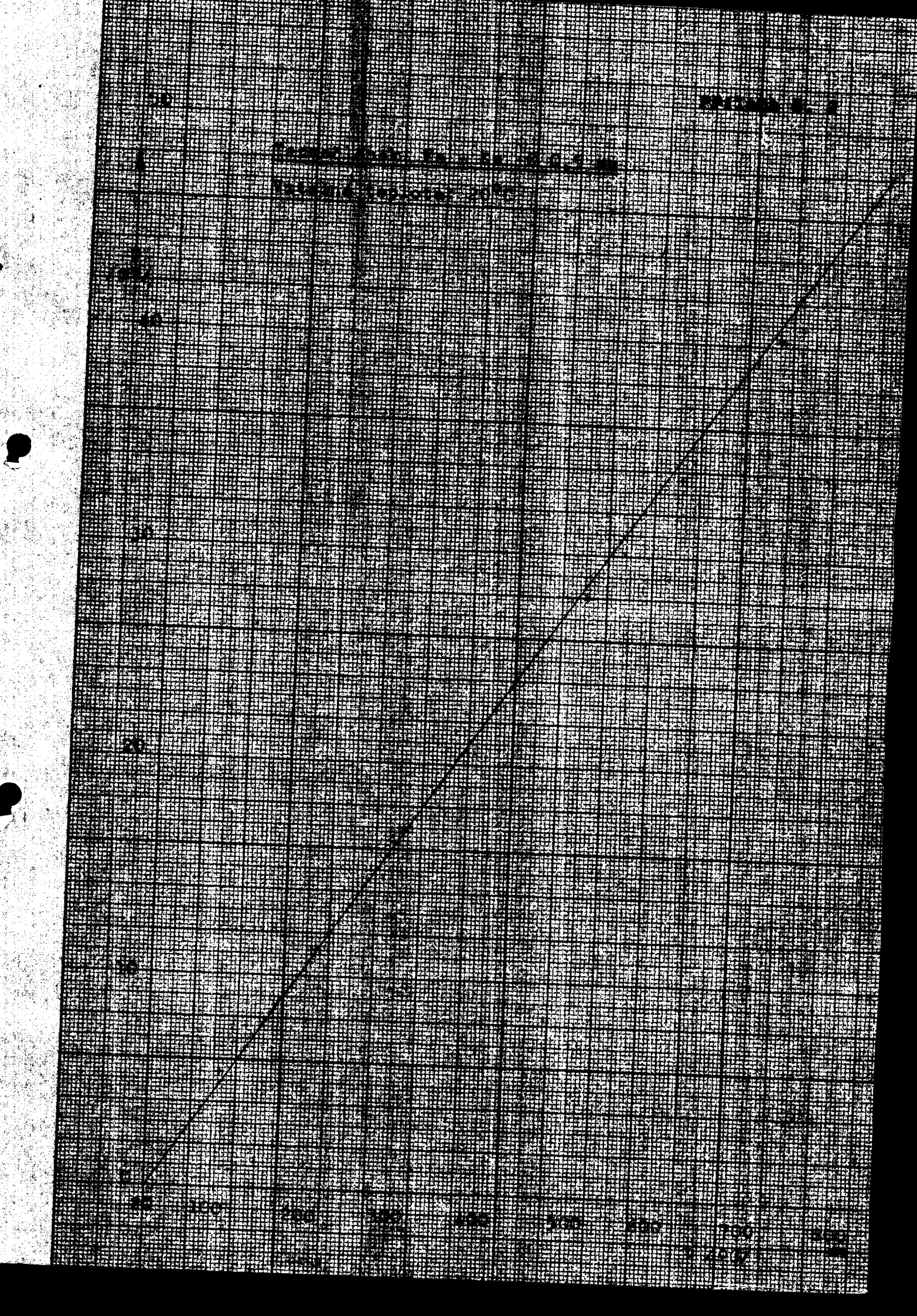
**Příloha 3.**

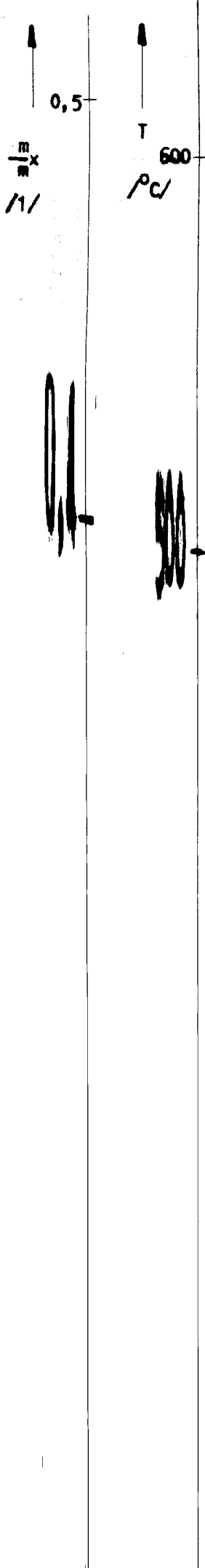
- 27 Graf  $\phi = \varphi$  (t) Gresovin vrerek  $\phi 6 \times 12$  mm  
28 Graf  $\alpha = \varphi$  (t) průniková skára alabastrová, Gresovin  
29 Graf  $\alpha = \varphi$  (t) alabastrová skára vrerek  $\phi 6 \times 12$  mm  
30 Kalibracní křivka sestavena - VŠBTK g - my

P R I L O H A

Tabelářní a grafické spracování analýzovaných hodnot  
termogravimetrických měření sítrových formovacích směsí



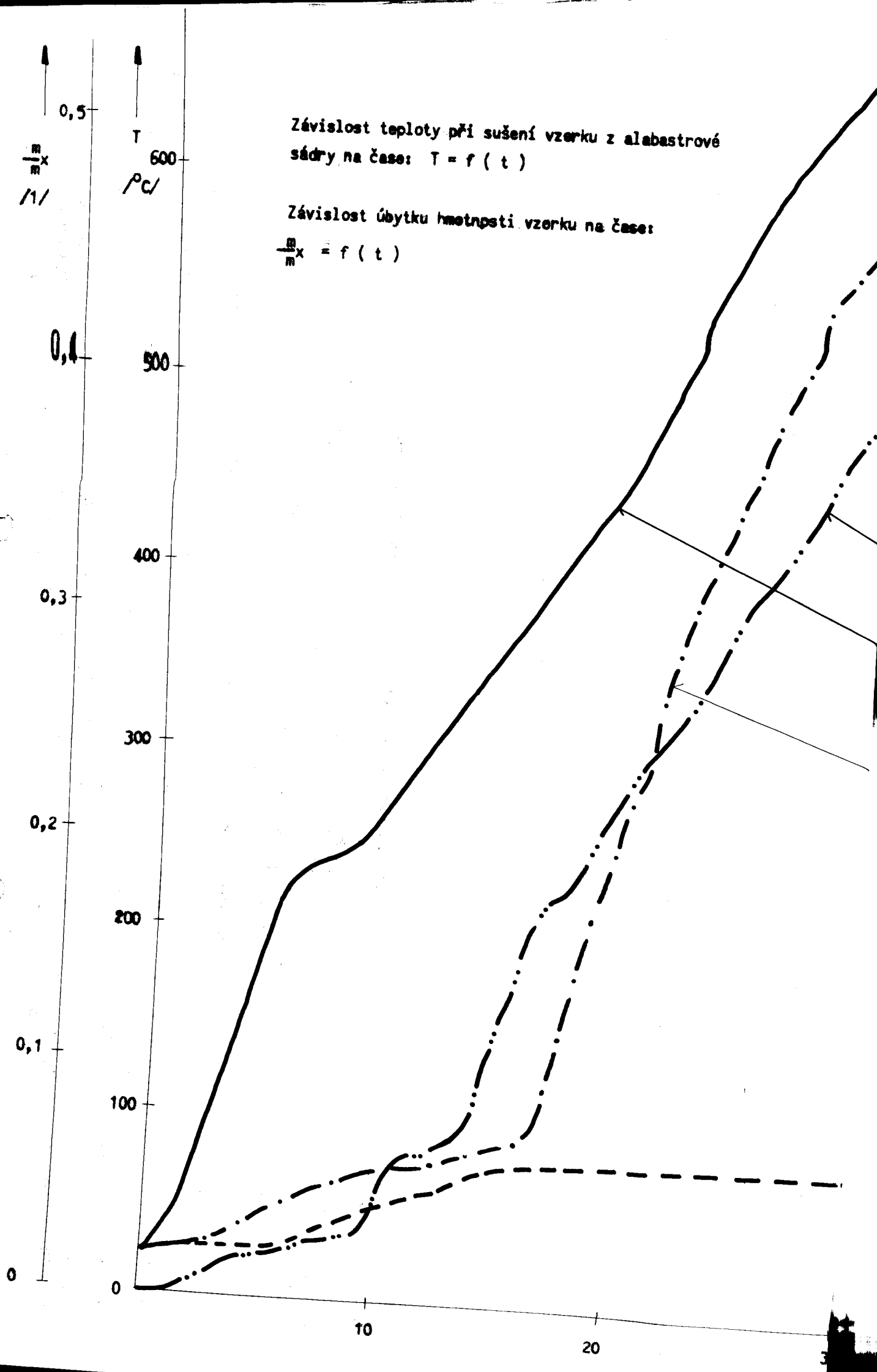




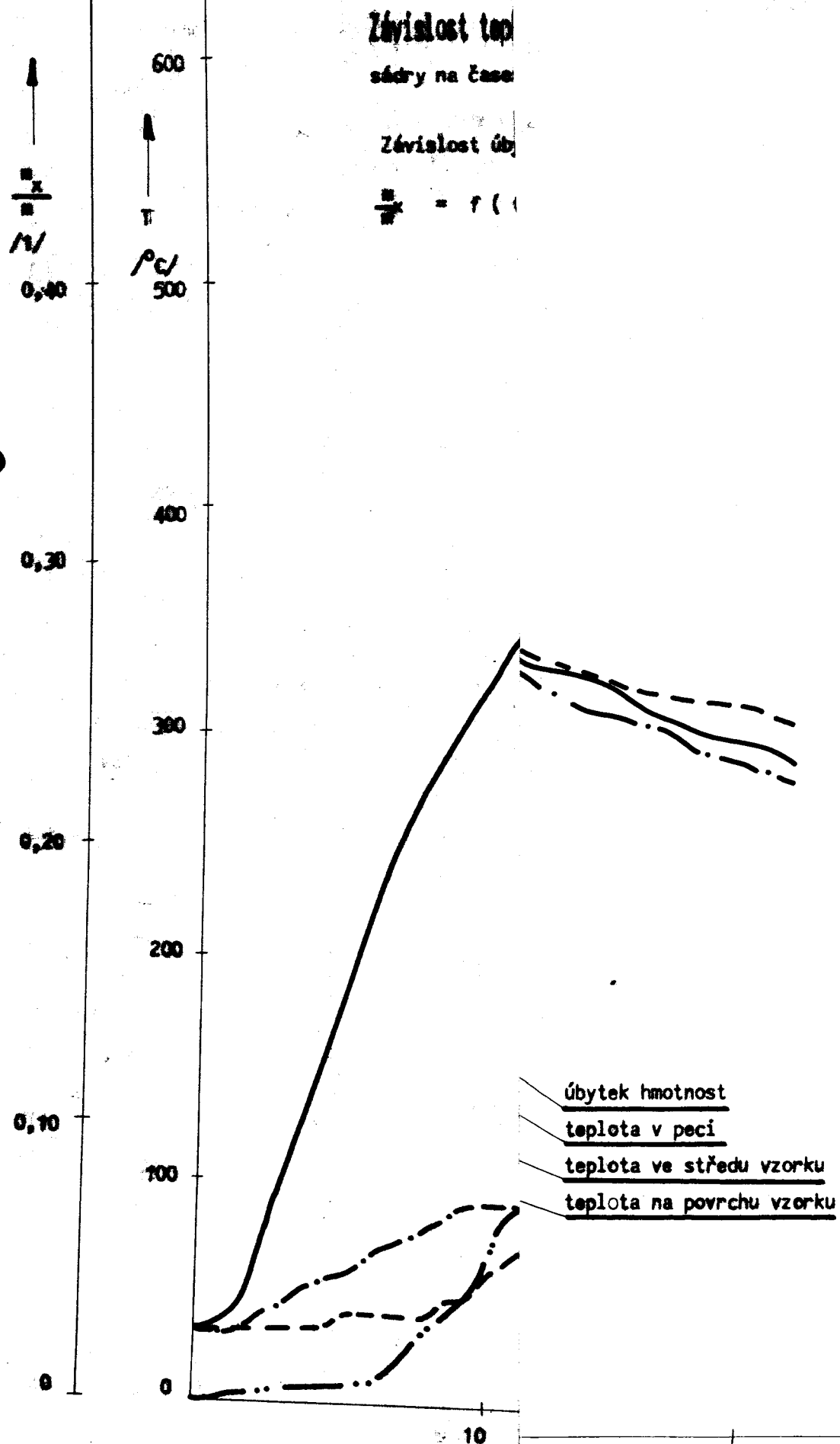
Závislost teploty při sušení vzorku z alabastrové  
sádry na čase:  $T = f(t)$

Závislost úbytku hmotnosti vzorku na čase:

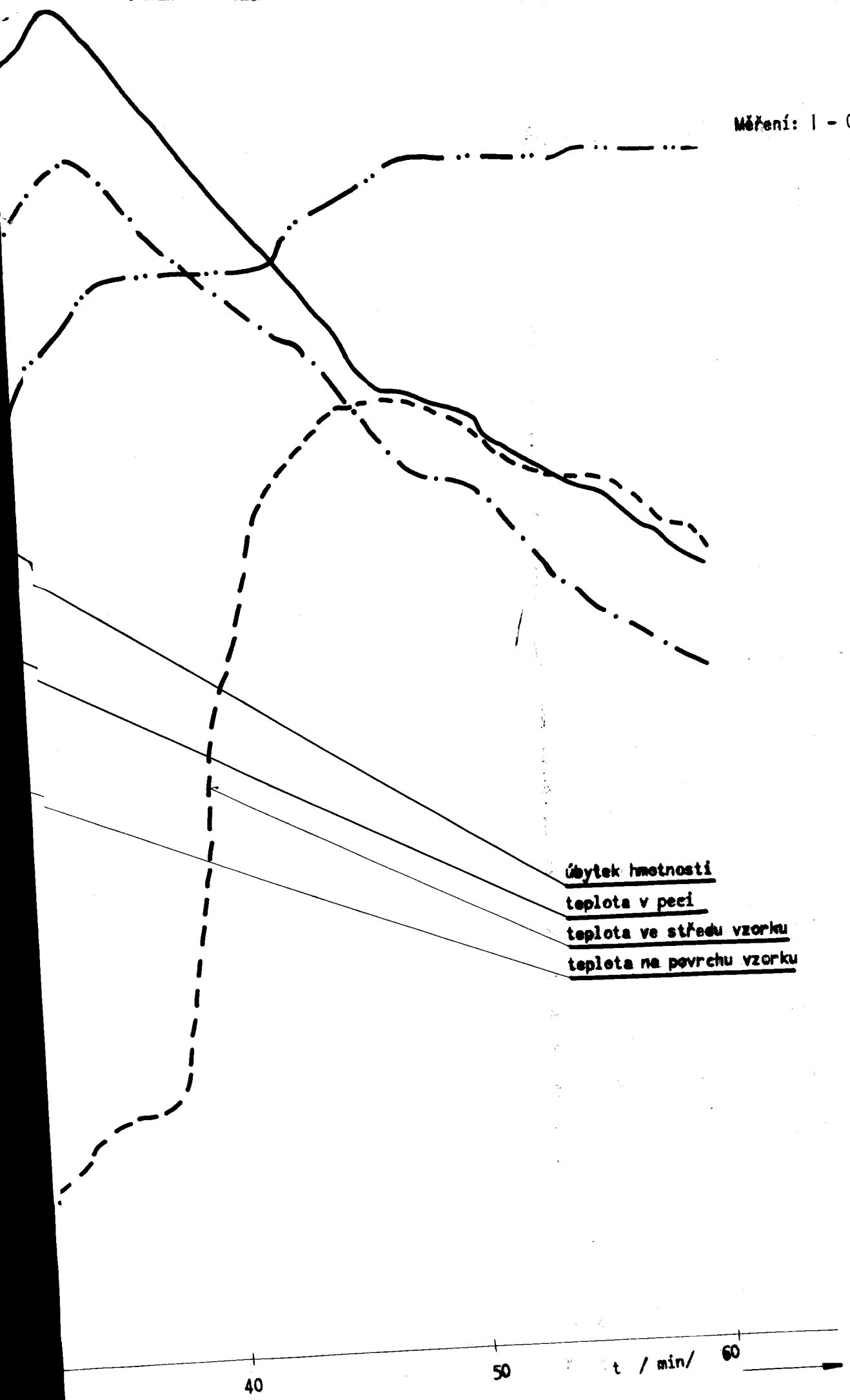
$$\frac{dx}{dt} = f(t)$$

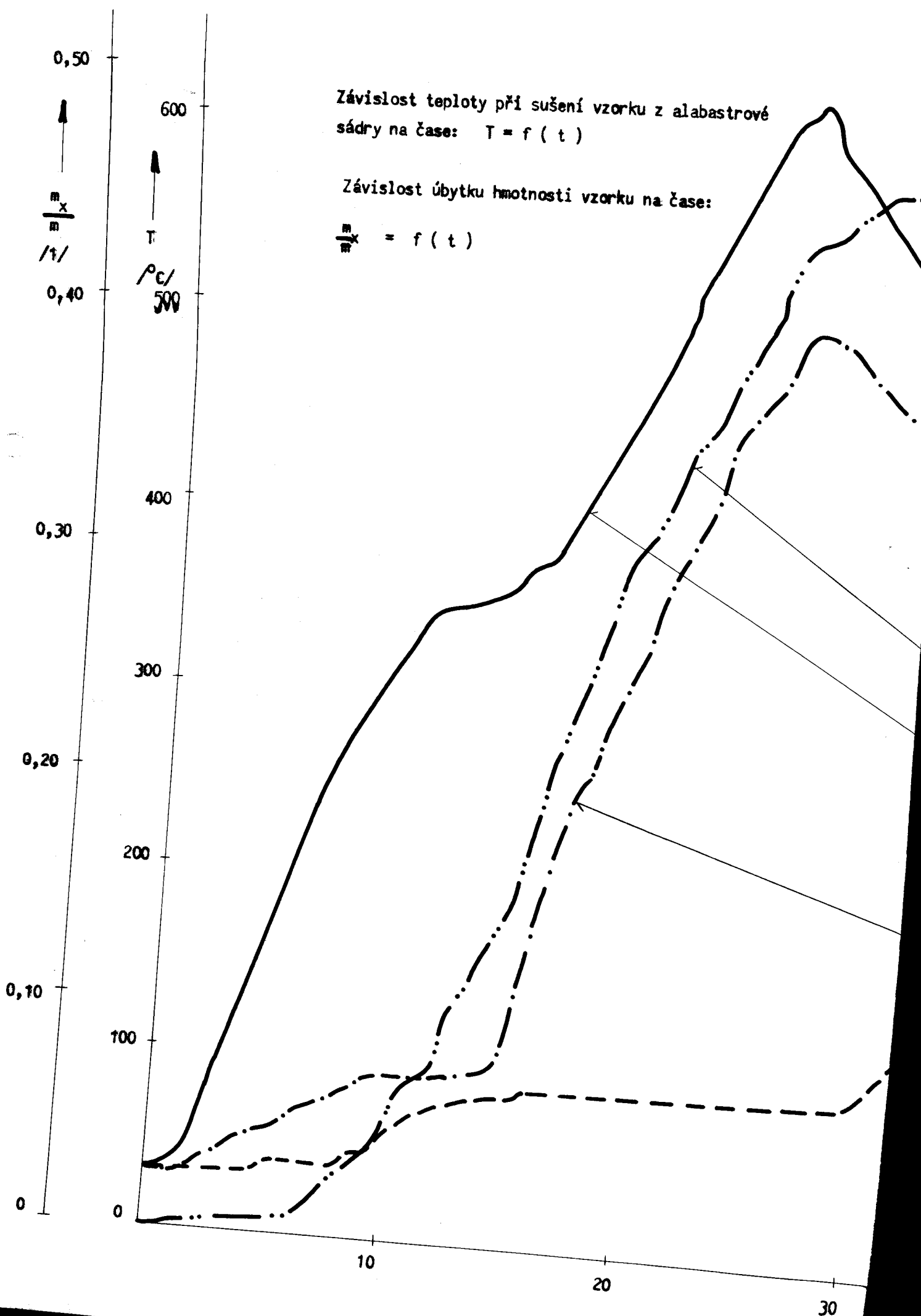


Měření: 1 - 02 - 08



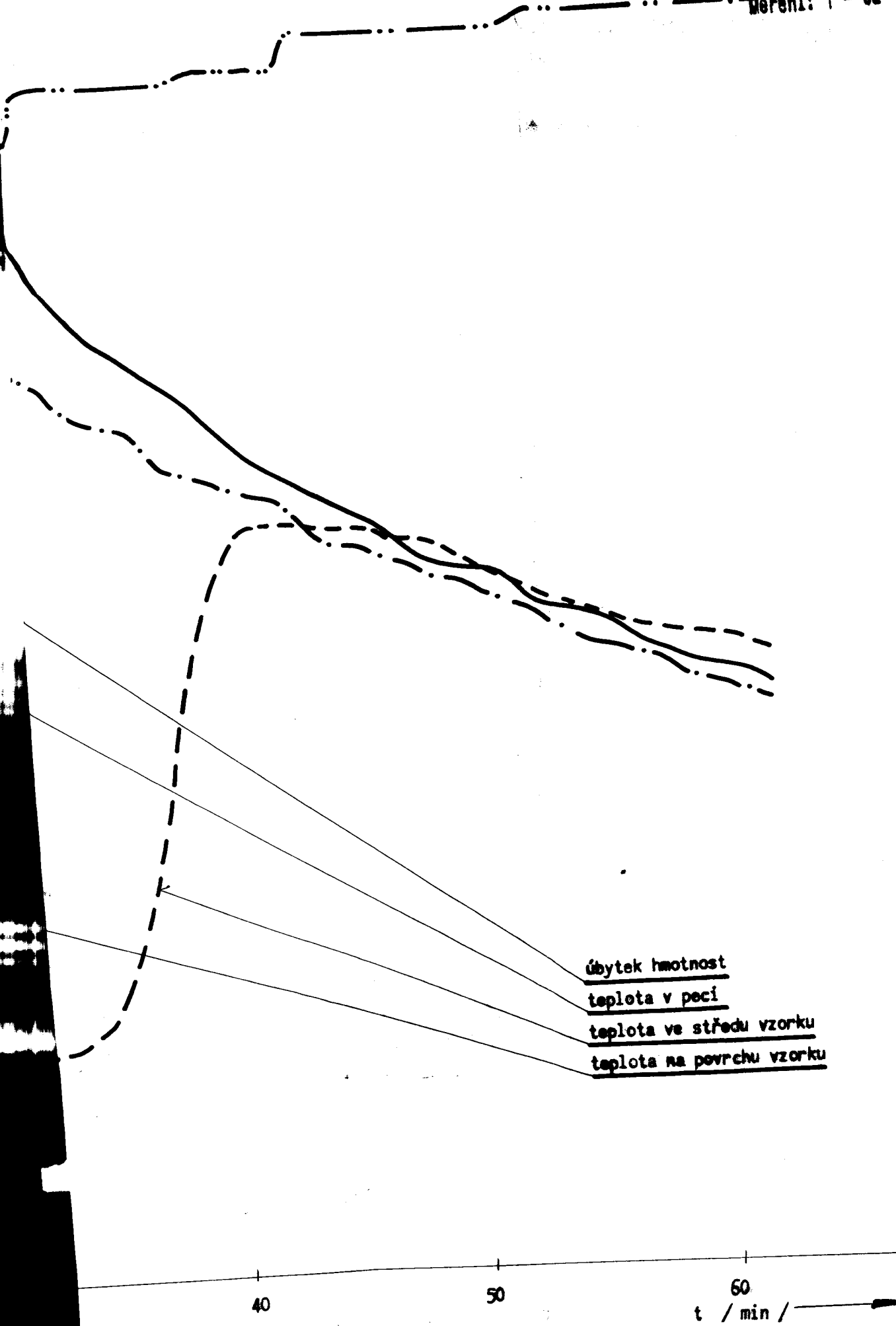
Měření: 1 - 01 - 1





Příloha č. 11

Měření: 1 - 02 - 08



0,50

600

$\frac{m_x}{m}$

T  
°C

0,40

500

1/1

0,30

300

0,20

200

0,10

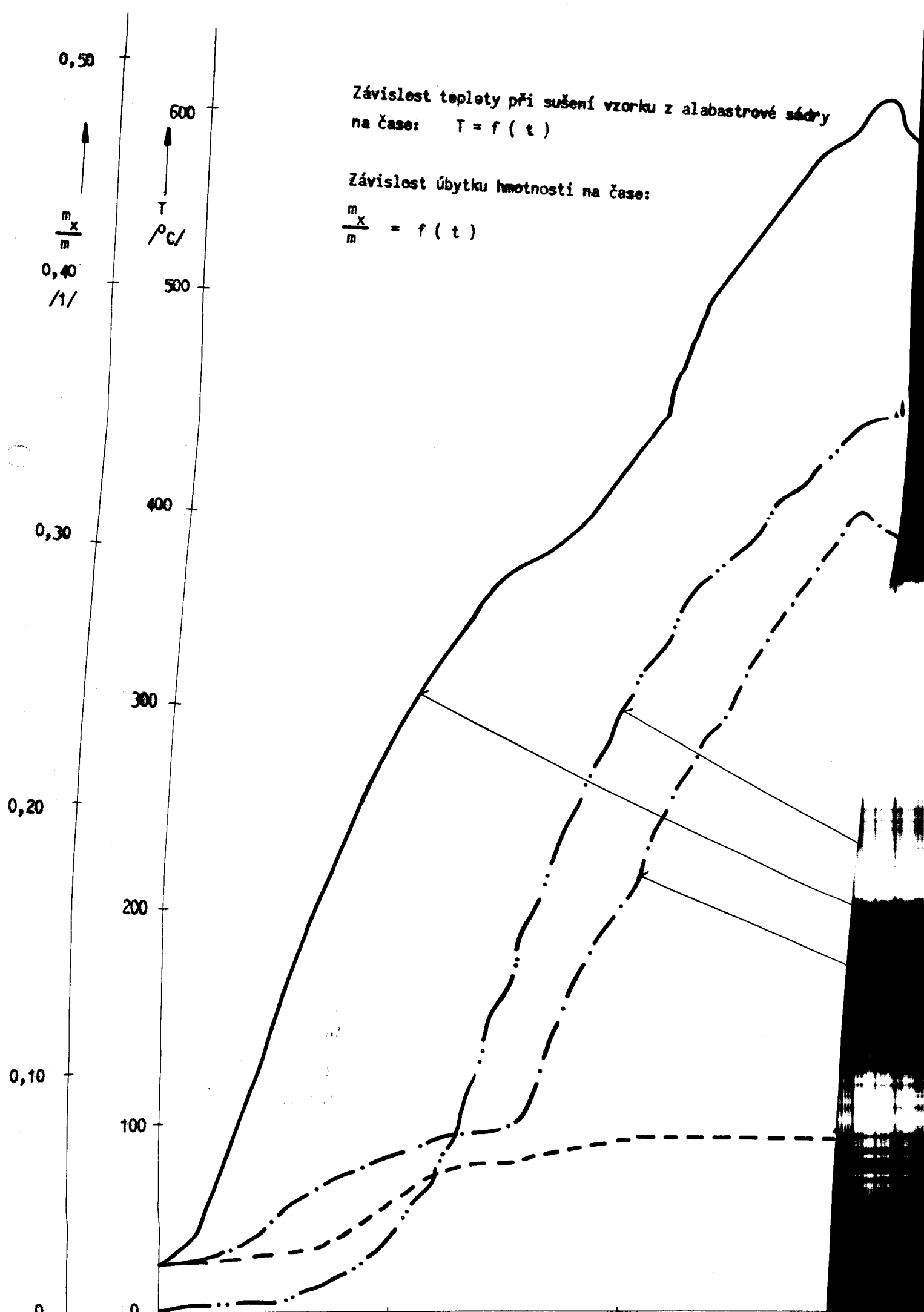
100

0

Závislost teploty při sušení vzorku z alabastrové sádry  
na čase:  $T = f(t)$

Závislost úbytku hmotnosti na čase:

$$\frac{m_x}{m} = f(t)$$



Příloha č. 12  
Měření: 1 - 03 - 06



Příloha č. 12

Měření: 1 - 03 - 06

